Aus der Städtischen Kinderklinik Gelsenkirchen Direktor: Prof. Dr. med. Ernst August Stemmann

PERINATALE ASPHYXIEFRÜHE KOMPLIKATIONEN UND EINFACHE LABORPARAMETER

Dissertation

zur Erlangung des Grades eines Doktors der Zahnmedizin
der Medizinischen Fakultät
Der Heinrich-Heine-Universität Düsseldorf
vorgelegt von

Katarzyna Jahn

2001

Als Inauguraldissertation gedruckt mit der Genehmigung der Medizinischen Fakultät der Heinrich Heine Universität Düsseldorf

Der Dekan der Medizinischen Fakultät der Universität Düsseldorf gez.: Univ.-Prof. Dr. med. Dieter Häussinger

Referent: Prof. Dr. med. E.A. Stemmann

Korreferent: Prof. Dr. med. P. Lemburg

INHALTSVERZEICHNIS

1.	Einführung und Problemstellung	4
2.	Patientenkollektiv	7
3.	Methode	10
4.	Ergebnisse	11
5.	Diskussion	24
6.	Schlussfolgerung	30
7.	Literatur	31
8.	Abkürzungsverzeichnis	39
9.	Anhang	40
10.	Lebenslauf	50
11.	Abstract	51

EINFÜHRUNG UND PROBLEMSTELLUNG

"Asphyxie" ist ein Begriff, der aus dem Griechischen kommt, und Pulslosigkeit bedeutet. In der Pathophysiologie versteht man unter einer Asphyxie einen Zustand, in welchem der plazentäre oder der pulmonale Gasaustausch unterbrochen wird mit nachfolgender fortschreitender Anoxämie, Hyperkapnie und Azidose (13, 21, 31, 63, 84).

Die (ca. 2- 10%) Neugeborenen, die eine perinatale Asphyxie erleiden, zeigen im weiteren Entwicklungsverlauf verschiedene Abweichungen von der Norm, insbesondere in dem psychomotorischen Bereich.

Hypoxisch-ischämische Enzephalopathie (HIE) ist ein neurologisches Syndrom, das eine perinatale Asphyxie begleitet.

Neugeborene mit einer schweren HIE sind stuporös, extrem hypoton und ohne primitive Reflexe. Eine moderate HIE ist durch Lethargie, Muskelhypotonie und abgeschwächte primitive Reflexe, und eine milde HIE durch Unruhe, Hyperexzitabilität und differente Muskeltonusabweichungen charakterisiert (83).

Die Mehrheit der Neugeborenen, die durch einen hypoxischischämischen Insult betroffen werden, zeigt keine neurologischen Symptome und keine nachfolgende Hirnschädigung.

Es besteht ein allgemeiner Konsensus betreffend der Abhängigkeit der Prognose der HIE vom Schweregrad und der Dauer des klinischen neurologischen Syndroms.

Das Ausmaß der Schädigung des zentralen Nervensystems ist auch die am wenigsten vorhersehbare Größe (4, 7, 16, 28, 43, 52, 58, 66, 79). Bei den asphyktischen Patienten geht es ausschließlich um eine sekundäre Hirnschädigung. Erst das Hirnödem verursacht eine lokalisierte Ischämie mit nachfolgendem Untergang der betroffenen Nervenzellen (5, 18, 22, 48, 63, 84).

Eine Kaskade von zellulären biochemischen Ereignissen mit Depolarisation der neuronalen Membran, Veränderung der intrazellulären Ionen-Homöostase, Veränderungen des energetischen Stoffwechsels, führt zu einer gesteigerten Freisetzung und einem verminderten Abbau der Neurotransmitter, einschließlich der exzitatorischen Aminosäuren (Glutamat)(19, 24, 27).

Es kommen folgende Mechanismen der sekundären Hirnschädigung in Betracht: Ischämie, Hypoxie, Hypoglykämie, Zerstörung der Zellmembran und Dissoziation des zellulären Stoffwechsels (20, 30, 63, 74).

Bei der perinatalen Asphyxie treten im wesentlichen die Ischämie und die Hypoxie und die sich daraus entwickelnden Komplikationen auf.

Während der Asphyxie ist die Umstellung von aerober Oxidation der Glucose zur anaeroben Glykolyse mit einer Anhäufung von Laktat und der Entwicklung einer metabolischen Azidose biochemisch am bedeutendsten (13, 21, 29, 54).

Der aerobe Glucosestoffwechsel führt zu Kohlendioxid und Wasser mit einem Energiegewinn von ca. 1260 Joule/1 Mol in Form von ATP. Die anaerobe Glykolyse endet bei Laktat, und bringt einen etwa 18 mal geringeren Energiegewinn von ca 65 Joule/1 Mol ein. Dieses enorme Energiedefizit hat fatale Folgen für den gesamten zellulären Stoffwechsel.

Die Laktatakkumulation scheint ein Mediator der Gewebeschädigung zu sein. Die Ursache für den Zusammenbruch der enzymatischen intrazellulären Reaktionen stellt aber höchstwahrscheinlich die Anhäufung von Wasserstoffionen (H^+) dar (41, 69).

Das zelluläre Ionen-Gleichgewicht wird durch Enzym-Inhibition zerstört. Die Zellorganellen schwellen an, und es folgt der Untergang der betroffenen Zellen (9, 20, 29, 53). Während der totalen Asphyxie (Anoxie) kommt es zu dramatischen Verschiebungen im Säure-Basen-Haushalt: der pH-Wert sinkt von 7,30 auf 6,80; die H⁺-Ionen-konzentration steigt also von 51 auf 158 nmol/l;

 pCO_2 steigt von 45 auf 150 mmHg; pO_2 sinkt von 25 mmHg auf nahezu 0 nach 10 Minuten.

Die schnelle Erschöpfung der Energievorräte in Form von ATP führt zur Insuffizienz der ATP-abhängigen Ionen-Transport-Mechanismen. Die Folge ist ein Verlust des intrazellulären Kaliums (K^+) und ein Einstrom von Calcium-Ionen (Ca^{2+}) in die Zelle. Dieser Prozeß findet in Neuronen, vaskulären Strukturen und in der glatten Muskulatur statt (20, 70).

Das im Zytoplasma akkumulierte Calcium wird in die Zellorganellen aufgenommen. Dadurch wird der elektrochemische Gradient an der Mitochondrienmembran aufgehoben, und in der Folge kommt es zur Ausschaltung der oxidativen Phosphorylierung.

Der Einstrom von Calcium in die glatten Muskelzellen, die gerade ein Aktin-Myosin-Komplex gebildet haben, verursacht eine Kontraktur, besonders in einem energiearmen Zustand. Der folgende Vasospasmus vermindert die Durchblutung (8, 12, 26, 77).

Die abnormale Akkumulation von Calcium in Nervenzellen wird generiert durch einige Faktoren, wie

- 1. Öffnung der spannungssensiblen Calcium-Kanäle,
- 2. Aktivierung der exzitatorischen aminosäurenabhängigen Ionen-Kanäle,
- 3. Funktionsminderung der Calcium-Pumpe und
- 4. vermehrte Freisetzung von freiem Calcium aus dem endoplasmatischen Retikulum.

Gesteigerter intrazellulärer Calcium-Spiegel vernichtet die Zelle durch Aktivierung von Proteasen, Lipasen, Proteinkinase C und Generation von freien Sauerstoff-Radikalen (15, 27, 57, 60, 62, 81).

Die peripartale Asphyxie ist immer noch eine der Hauptursachen perinataler und neonataler Morbidität und Mortalität. Sie ist in einem hohen Prozentsatz mit neurologischen Komplikationen, insbesondere der Entwicklung einer hypoxisch-ischämischen Enzephalopathie und einer periventrikulären-intraventrikulären Hirnblutung, verbunden. Trotz zunehmender Erkenntnisse über die Ursachen und die Pathogenese asphyxieassoziierter Störungen ist bislang eine Vorhersage, welches asphyktische Neugeborene relevante klinisch-neurologische Probleme entwickeln wird, in aller Regel nicht möglich.

Die vorliegende Studie sollte der Frage nachgehen, welche Laborbefunde, die routinemäßig in der ersten Phase nach einer Asphyxie erhoben werden, eine prognostische Aussage in Bezug auf die zu erwartenden vitalen und frühen neurologischen Komplikationen haben können.

PATIENTENKOLLEKTIV

Die perinatale Asphyxie wurde bei Neugeborenen mit einem oder beiden der folgenden Kriterien diagnostiziert (11, 25, 51, 54, 55, 58):

- 1. ein Nabelschnur-pH-Wert ≤ 7,15 und/oder
- 2. ein 5-Minuten-Apgar-Wert von \leq 5.

Es wurden Daten von 70 Neugeborenen mit perinataler Asphyxie analysiert, die zwischen Oktober 1990 und Dezember 1994 in der Abteilung für Intensivmedizin und Neonatologie der Städtischen Kinderklinik in Gelsenkirchen-Buer behandelt waren. Zu diesem Zweck wurde ein spezieller Befundbogen entwickelt (s. Anhang).

Sie wurden entsprechend dem klinischen Verlauf in 3 Gruppen eingeteilt (s. Tab.1):

Gruppe I- 14 Neugeborene (7 Mädchen, 7 Jungen), die infolge der Asphyxie in den ersten Lebenstagen verstorben sind. Alle diese Neugeborenen zeigten sofort nach der Geburt schwere vitale Störungen und mußten maschinell beatmet werden. Drei starben unmittelbar infolge einer intraventrikulären Hirnblutung; die anderen an Multiorganversagen.

Gruppe II- 27 Neugeborene (15 Mädchen, 12 Jungen) mit einer frühen neurologischen Symptomatik, definiert als das Auftreten von einem oder mehreren von folgenden Symptomen während des stationären Aufenthaltes: Krämpfe, andauernde Unruhezustände, Hyperexzitabilität, pathologische motorische Aktivität (deutliche Bewegungsarmut, rudernde Extremitätenbewegungen, Strecktendenz) ausgeprägte Muskelhypotonie, Trinkschwäche, Apnoeanfälle (7, 13, 23, 31, 44, 45, 46, 59, 68).

Gruppe III- 29 Neugeborene (11 Mädchen, 18 Jungen) ohne eine frühe neurologische Symptomatik.

Kontrollgruppe- 60 gesunde Neugeborene (26 Mädchen, 34 Jungen), definiert als Neugeborene mit einem Gestationsalter von mehr als 37. SSW, einer normalen CTG, aus einer Spontangeburt, einem Nabelschnur pH > 7,20, einem 5-Min. Apgar-Wert > 8, einem maximalen Bilirubin-Wert am 1. Lebenstag < 6 mg% und am 3. Lebenstag < 12 mg% sowie einem unauffälligen Verhalten während des Klinikaufenthaltes. Diese Kinder befanden sich in der Klinik zum Ausschluß von Mißbildungen (Herz-Gefäß-System, Magen-Darm-Trakt, Urogenital-System, Skelett-System) sowie Infektionen.

Die Behandlung der asphyktischen Neugeborenen bestand aus standardisierten Maßnahmen (10, 17, 42, 54, 61, 63, 80):

restriktive Flüssigkeitszufuhr 40-70 ml/kg KG/24 Stunden (Glukose 10%, Glukose-Elektrolyte-Lösung Ionosteril I, Human-Albumin-Lösung 5%, Erythrozyten-Konzentrat);

Azidoseausgleich mit 4,2% NaHCO₃-Lösung bei metabolischer Azidose bis zu einem SB von ca 12 mmol/l;

Behandlung des Hirnödems und zur s.g. "Hirnprotektion" - Phenobarbital 10 mg/kg KG/Tag und Dexamethason 1 mg/kg KG/Tag in 4 Einzeldosen -bei Atemversagen eine maschinelle Beatmung (Babylog 1, Dräger) um p₂O₂ über 50 mmHg und p₂CO₂ um 35 mgHg zu halten;

- -bei Kreislaufversagen Dobutamin 5-10 $\mu\text{g/kg}$ KG/min und Dopamin 3-5 $\mu\text{g/kg}$ KG/min;
- -zur Unterdrückung der **neurologischen Symptome** wurden zusätzlich Phenobarbital bis zu 20 mg/kg KG/Tag, Diazepam und Phenytoin angewendet;
- -in einigen Fällen wurde zur **Ausschwemmung** Furosemid verabreicht;
- -alle asphyktischen Neugeborenen haben eine **antibiotische Abschirmung** mit Ampicillin, Cloxacillin und Gentamycin erhalten; -bei **Hyperkaliämie** (Serum- $K^+ > 7,5$ mmol/l) wurde eine Glukose-Insulin-Lösung infundiert (54, 75).

Tab. 1. Einteilung der Patienten nach klinischen Kriterien

	Gruppe I n=14	Gruppe II n = 27	Gruppe III n= 29
Geburtsgewicht	2938 ± 1150 g (820 - 4900 g)	3048 ± 999 g (916 - 5070 g)	3000 ± 864 g (820 - 4190 g)
Gestationsalter	36 ± 4 SSW (28 - 40 SSW)	37 ± 4 SSW (30 - 41 SSW)	38 ± 3 SSW (30 - 41 SSW)
5 MinApgar-Wert	4,1 0- 7	5,8 0 - 9	6,6 3 - 10
Nabelschnur pH	7,12 ± 0,22 6,60 - 7,29	7,05 ± 0,20 6,50 - 7,35	7,11 ± 0,10 6,91 - 7,34
Geburtsmodus			
spontan	4	10	10
primäres Sectio	0	5	9
Notsectio	10	6	5
Saugglocke	0	3	5
Zange	0	3	0

METHODE

Die Blutentnahmen erfolgten aus einer ungestauten peripheren Vene, der Nabelvene oder aus einer peripheren Arterie (A. temporalis, A. radialis) an 3 aufeinander folgenden Tagen, d.h. am 1. Lebenstag sofort nach der Aufnahme des Neugeborenen auf die Intensivstation (1.- 4. Lebenstunde), am 2. Lebenstag (16.- 48. Lebenstunde) sowie am 3. Lebenstag (56.- 72. Lebensstunde).

Die Blutproben wurden sofort nach der Entnahme im klinikeigenen Labor untersucht.

Die LDH-Aktivität wurde bestimmt gemäß den Empfehlungen der Deutschen Gesellschaft für Klinische Chemie mit dem optimierten UV-Test (Merckotest, Deutschland) bei einer Meßwellenlänge von 340 nm.

Die Gesamt-Creatinkinase(CK)-Aktivität wurde bestimmt gemäß den Empfehlungen der Deutschen Gesellschaft für Klinische Chemie mit einem optimierten NAC-aktivierten CK-Test (Gesamttest 15, Merck, Deutschland) bei einer Meßwellenlänge von 340 nm.

Die Serumelektrolyte- Na⁺, K⁺, Ca²⁺ wurden mit dem Flammenfotometer Eppendorf EFAX 5053 bestimmt(76).

Für die statistische Analyse zur Bestimmung der arithmetischen Mittelwerte "x" und der Standardabweichungen SD wurde der Rangtest nach Wilcoxon, Mann und Whitney (LDH und CK) und der Student t-Test (Serumelektrolyte) für die Prüfung der Alternativ-

hypothese $m_1 \neq m_2$ angewandt.

Überschreitet der Prüfquotient die Signifikanzschranke bei p = 0.05, wurde die Alternativhypothese akzeptiert (67).

Die Bewertung anderer Routineuntersuchungen, wie Blutgasanalyse, Kreatinin, Gesamt-Eiweiß, CrP, Bilirubin, Blutbild wurde wegen der geringen und statistisch unsignifikanten Differenzen zwischen den zu analysierenden Gruppen weggelassen.

ERGEBNISSE

Serum-LDH-Aktivität

Bei den asphyktischen Neugeborenen (Gruppe I, II, III) war die LDH-Aktivität an allen Untersuchungstagen signifikant (p<0,05) und hoch signifikant höher als die der Kontrollgruppe (Tab. 2.1, 2.2).

Gruppe I

Die höchsten Mittelwerte wurden in dieser Gruppe beobachtet. Dabei stieg die anfängliche Aktivität von 2.539 ± 2.875 U/l am 1. Lebenstag auf 6.636 ± 6.727 U/l am 2. Lebenstag, um am 3. Lebenstag leicht auf 6.451 ± 5.359 U/l zurückzugehen. Bemerkenswerterweise unterscheiden sich die einzelnen gemessenen Werte innerhalb der Gruppe I sehr stark voneinander, was zu einer ungewöhnlich hohen Standardabweichung geführt hat (Tab. 2.1). Die Aussagekraft dieser Werte wird noch zusätzlich durch die niedrige Anzahl der Patienten in dieser Gruppe abgeschwächt.

Gruppe II

Bei Neugeborenen mit früher neurologischer Symptomatik ist die LDH-Aktivität an allen drei Lebenstagen signifikant höher als bei Kindern ohne neurologische Komplikationen (Gruppe III)(Tab. 2.2). Interessanterweise ist die Aktivität vom 1. auf den 2. bzw. 3. Lebenstag auf etwa das Doppelte angestiegen: 1.094 ± 1.128 U/l am ersten, 1.950 ± 2.277 U/l am zweiten, und 2.119 ± 2.388 U/l am dritten Tag (s. Tab.2.1).

Gruppe III

In der Gruppe III war der Aktivitätsanstieg relativ gering, 637 ± 340 U/l am ersten, 858 ± 365 U/l am zweiten, und 840 ± 284 U/l am dritten Tag (Tab. 2.1, 2.2, Abb. 1).

Serum-Gesamt-CK-Aktivität

Gruppe I

Die Gesamt-CK-Aktivität dieser Gruppe zeigt die höchsten Mittelwerte, aber keine signifikanten Unterschiede im Vergleich mit anderen Gruppen einschließlich der Kontrollgruppe (Tab. 3.1, 3.2)

Gruppe II

Die Neugeborenen mit frühen neurologischen Symptomen zeigen signifikant höhere Aktivität am 1. Lebenstag als Kinder ohne neurologische Symptomatik- Gruppe III, p<0,001, (Tab. 3.2). An weiteren Tagen sind die Differenzen zwischen diesen Gruppen deutlich geringer. Im Vergleich mit der Kontrollgruppe sind die Mittelwerte in allen untersuchten Zeiträumen signifikant höher, p<0,001, (Tab. 3.2).

Gruppe III

Die Aktivität in dieser Gruppe ist im Vergleich mit der Kontrollgruppe an allen Tagen signifikant höher (Tab. 3.2).

Tab.2.1. Mittelwerte der Serum-LDH-Aktivität in U/l \pm SD

	1. Lebenstag	2. Lebenstag	3. Lebenstag
Gruppe I, n=14	2539 ± 2875	6636 ± 6727	6451 ± 5359
Gruppe II; n= 27	1094 ± 1127	1950 ± 2277	2119 ± 2388
Gruppe III; n= 29	637 ± 340	858 ± 365	840 ± 284
Kontrollgruppe; n= 60	391 ± 142	442 ± 119	380 ± 105

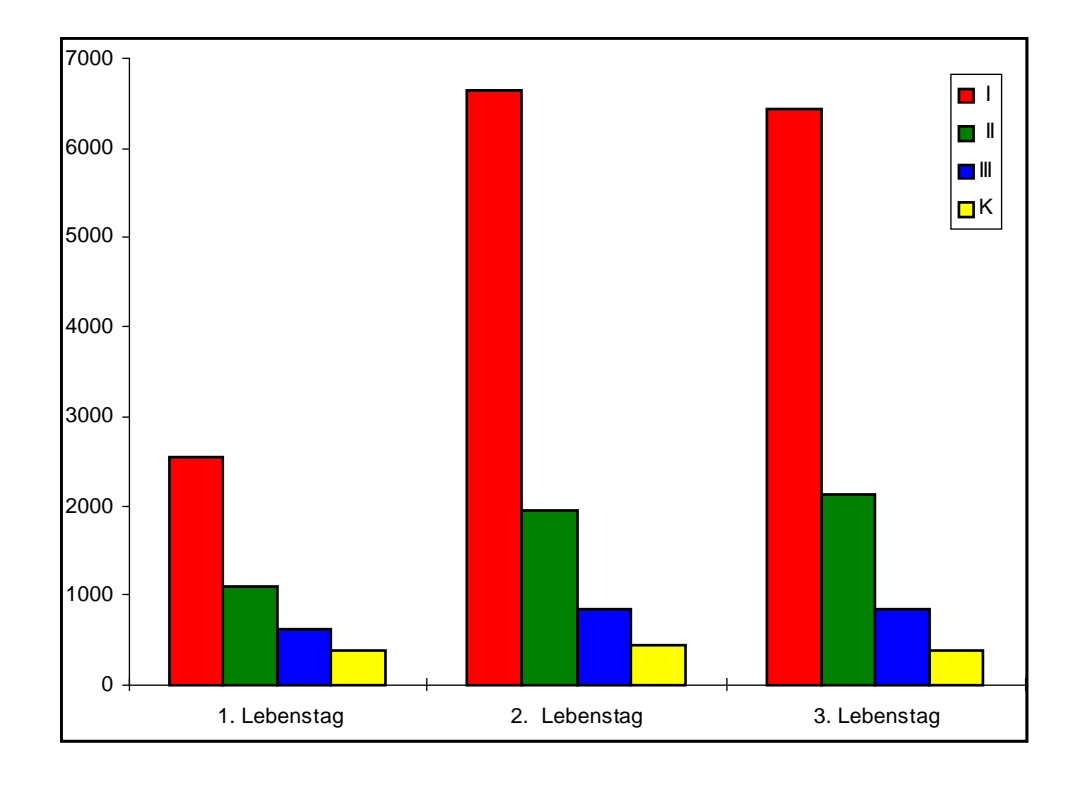


Abb. 1. Serum-LDH-Aktivität in den ersten 3 Lebenstagen

Tab. 2.2. Statistischer Vergleich der Mittelwerte der Serum LDH-Aktivität mit dem Wilcoxon-Mann-Whitney Test

Vergleich	1. Lebenstag	2. Lebenstag	3. Lebenstag
1 / K	p < 0,05	p < 0,001	p < 0,001
II / K	p < 0,001	p < 0,001	p < 0,001
III / K	p < 0,001	p < 0,001	p < 0,001
1/11	n.s.	n.s.	n.s.
1 / III	p < 0,05	p < 0,001	p < 0,01
11/ 111	p < 0,05	p < 0,01	p < 0,001

Tab.3.1.
Mittelwerte der Serum-CK-Aktivität in U/l ± SD

	1. Lebenstag	2. Lebenstag	3. Lebenstag
Gruppe I, n=14	800,9 ± 1091	3610,6 ± 5033	3132,8 ± 5103
Gruppe II; n= 27	682,7 ± 823	1069 ± 1613	623,9 ± 500
Gruppe III; n= 29	402,3 ± 344	610,6 ± 572	325,6 ± 283
Kontrollgruppe; n= 60	189 ± 142	199 ± 135	136 ± 95

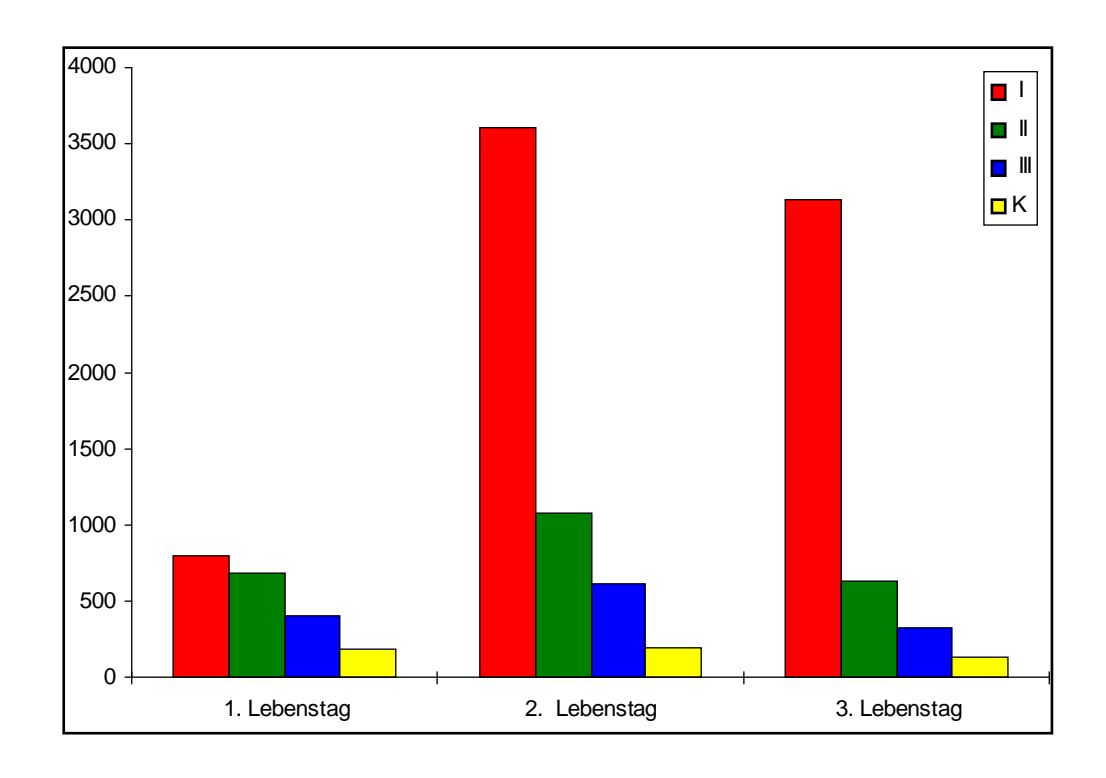


Abb. 2. Serum-CK-Aktivität in den ersten 3 Lebenstagen

Tab. 3.2. Statistischer Vergleich der Mittelwerte der Serum-Gesamt-CK-Aktivität mit dem Wilcoxon-Mann-Whitney Test

Vergleich	1. Lebenstag	2. Lebenstag	3. Lebenstag
1 / K	n.s.	n.s.	n.s.
II / K	p < 0,001	p < 0,001	p < 0,001
III / K	p < 0,005	p < 0,05	p < 0,01
1711	n.s.	n.s.	n.s.
1 / 111	n.s.	n.s.	n.s.
11/ 111	n.s.	n.s.	p < 0,05

<u>Serumelektrolyte</u>

Serum-Kalium (K⁺)

Am 1. Lebenstag zeigen sich bei den verglichenen Gruppen keine signifikanten Unterschiede, bis auf die Gruppe II zur Kontrollgruppe. Die Werte liegen mit 4.72 ± 0.64 mmol/l (Gruppe I), 4.54 ± 0.80 mmol/l (Gruppe II), 4.80 ± 0.70 mmol/l (Gruppe III) im Normbereich. Der Mittelwert steigt in der Gruppe I auf 6.49 ± 1.04 mmol/l am 2. Lebenstag an und auf 6.83 ± 1.53 mmol/l am 3. Lebenstag deutlich über die Normwerte, und auch signifikant höher als in allen anderen Gruppen (Tab. 4.1, 4.2, Abb. 3).

Die Mittelwerte der Gruppe II und der Gruppe III liegen signifikant höher als in der Kontrollgruppe, aber im oberen Normbereich.

Serum-Calcium (Ca²⁺)

Gruppe I

- Am 1. Lebenstag liegt der Mittelwert signifikant niedriger als bei allen anderen Gruppen, aber im Normalbereich.
- Am 2. Lebenstag sinkt er von 2,28 \pm 0,24 mmol/l auf 1,65 \pm 0,22 mmol/l ab und ist damit hoch signifikant niedriger als die Mittelwerte der Gruppe III und der Kontrollgruppe (Tab.5.1, 5.2).
- Am 3. Lebenstag zeichnet sich ein weiterer Abfall der Ca^{2+} -Konzentrationen auf 1,47 \pm 0,25 mmol/l ab. Die Werte liegen auch deutlich unter der unteren Normgrenze von 1,70 mmol/l (76).

Gruppe II

Die Mittelwerte sinken von 2,53 \pm 0,21 mmol/l am 1. Lebenstag auf 1,86 \pm 0,35 mmol/l am 2. Lebenstag und auf 1,56 \pm 0,22 mmol/l am 3. Lebenstag, sie liegen damit signifikant niedriger als die der Kontrollgruppe.

Der Unterschied zu der Gruppe III ist nur am 3. Lebenstag signifikant (Tab. 5.1, 5.2).

Gruppe III

Auch in dieser Gruppe ist der Mittelwert am 3. Lebenstag signifikant niedriger als der der Kontrollgruppe (Tab. 5.2, Abb.4).

Serum-Natrium (Na⁺)

In allen untersuchten Gruppen liegen die Mittelwerte im Normalbereich. Es ergaben sich keine signifikanten Differenzen (Tab. 6.1, Abb. 5).

Tab.4.1. Mittelwerte der Serum-K- Konzentration in mmol/l \pm SD

	1. Lebenstag	2. Lebenstag	3. Lebenstag
Gruppe I, n=14	4,72 ± 0,64	6,49 ± 1,04	6,83 ± 1,53
Gruppe II; n= 27	4,54 ± 0,80	5,53 ± 1,18	5,36 ± 1,32
Gruppe III; n= 29	4,80 ± 0,70	5,29 ± 0,90	5,29 ± 0,60
Kontrollgruppe; n= 60	4,95 ± 0,57	4,77 ± 0,63	4,25 ± 0,51

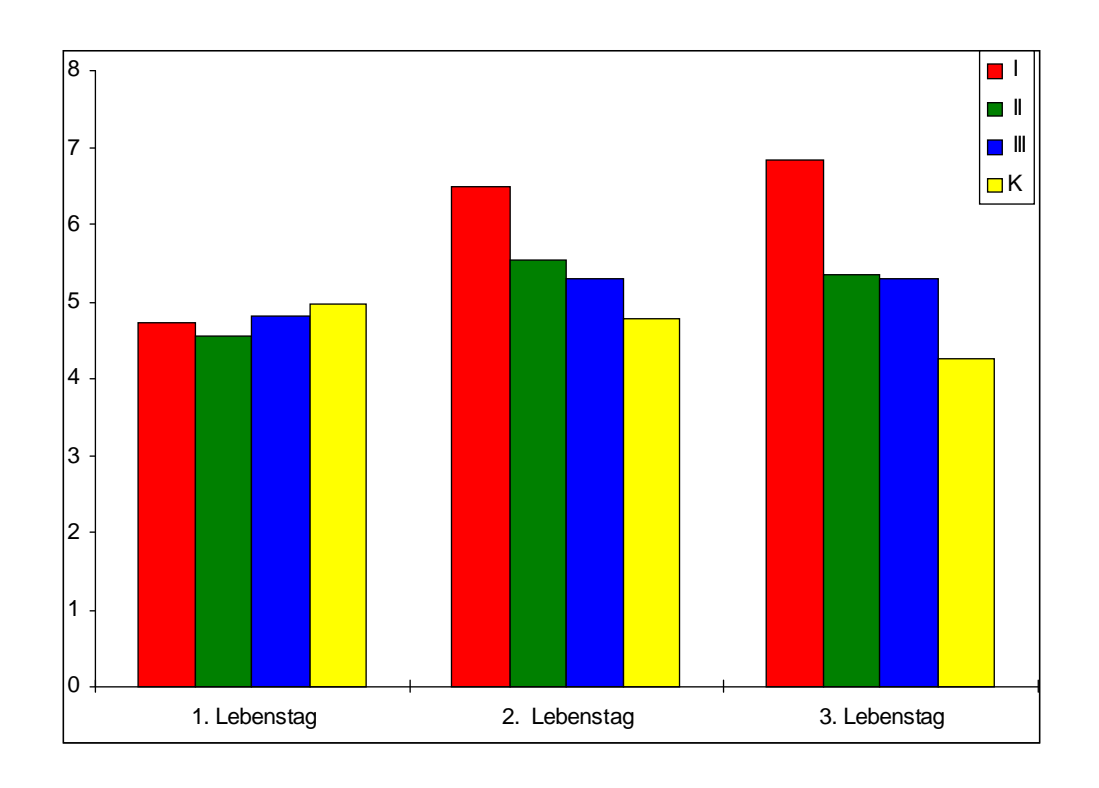


Abb. 3. Serum-K-Konzentration in den ersten 3 Lebenstagen

Tab. 4.2. Statistischer Vergleich der Mittelwerte der Serum- $\mathrm{K}^{\scriptscriptstyle +}$ -Konzentration mit dem t-Test

Vergleich	1. Lebenstag	2. Lebenstag	3. Lebenstag
1 / K	n.s.	p < 0,001	p < 0,001
II / K	p < 0,01	p < 0,01	p < 0,001
III / K	n.s.	p < 0,02	p < 0,001
1711	n.s.	n.s.	p < 0,01
1 / III	n.s.	p < 0,05	p < 0,001
11/ 111	n.s.	n.s.	n.s.

Tab.5.1.
Mittelwerte der Serum-Ca- Konzentration in mmol/l ± SD

	1. Lebenstag	2. Lebenstag	3. Lebenstag
Gruppe I, n=14	2,28 ± 0,24	1,65 ± 0,22	1,47 ± 0,25
Gruppe II; n= 27	2,53 ± 0,21	1,86 ± 0,35	1,56 ± 0,22
Gruppe III; n= 29	2,47 ± 0,21	2,00 ± 0,24	1,77 ± 0,25
Kontrollgruppe; n= 60	2,59 ± 0,31	2,08 ± 0,20	2,15 ± 0,20

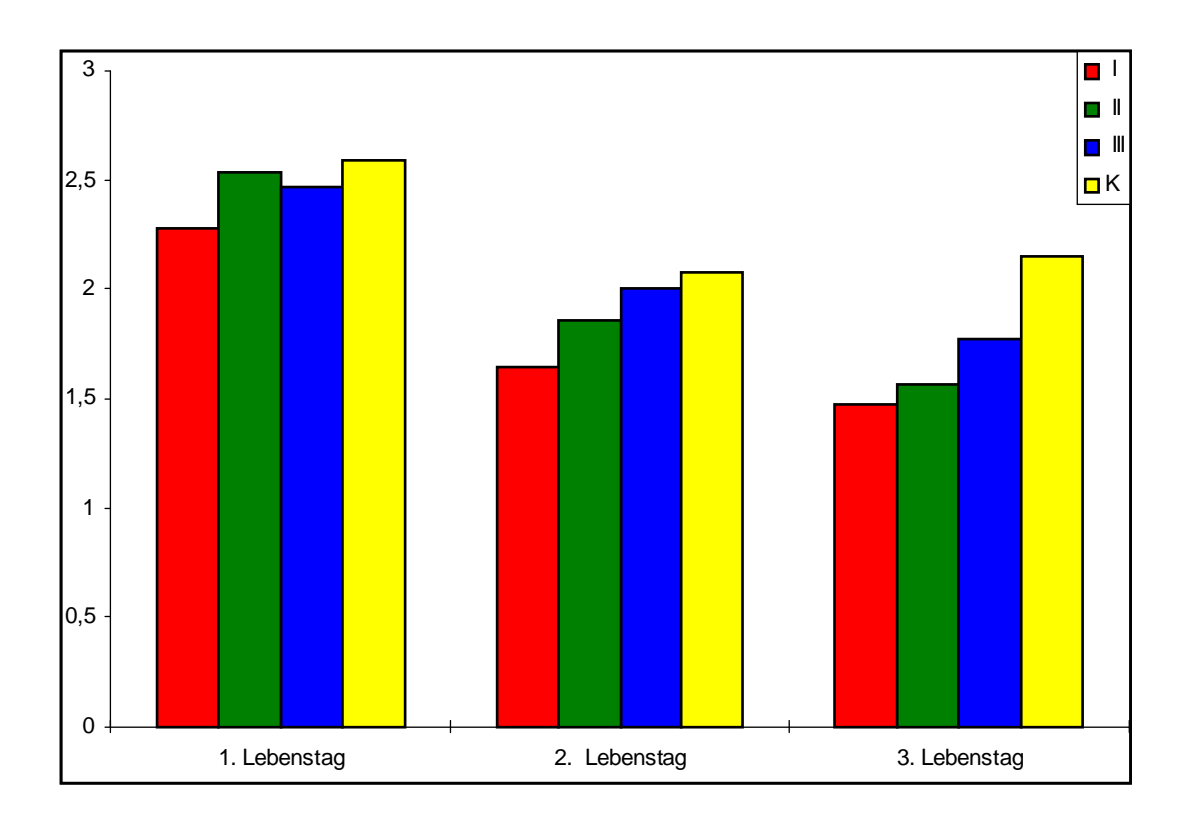


Abb. 4. Serum-Ca- Konzentration in den ersten 3 Lebenstagen

Tab. 5.2. Statistischer Vergleich der Mittelwerte der Serum- Ca^{2+} -Konzentration mit dem t-Test

Vergleich	1. Lebenstag	2. Lebenstag	3. Lebenstag
1 / K	p < 0,01	p < 0,001	p < 0,001
II / K	n.s.	p < 0,001	p < 0,001
III / K	p < 0,05	n.s.	p < 0,001
1 / 11	p < 0,01	n.s.	n.s.
I / III	p < 0,05	p < 0,001	n.s.
11/ 111	n.s.	n.s.	p < 0,01

Tab. 6.1
Mittelwerte der Serum-Na-Konzentration in mmol/l ± SD

	1. Lebenstag	2. Lebenstag	3. Lebenstag
Gruppe I, n=14	138 ± 6	137 ± 4	141 ± 8
Gruppe II; n= 27	141 ± 2	139 ± 4	138 ± 5
Gruppe III; n= 29	139 ± 3	138 ± 4	137 ± 6
Kontrollgruppe; n= 60	138 ± 2	138 ± 2	139 ± 3

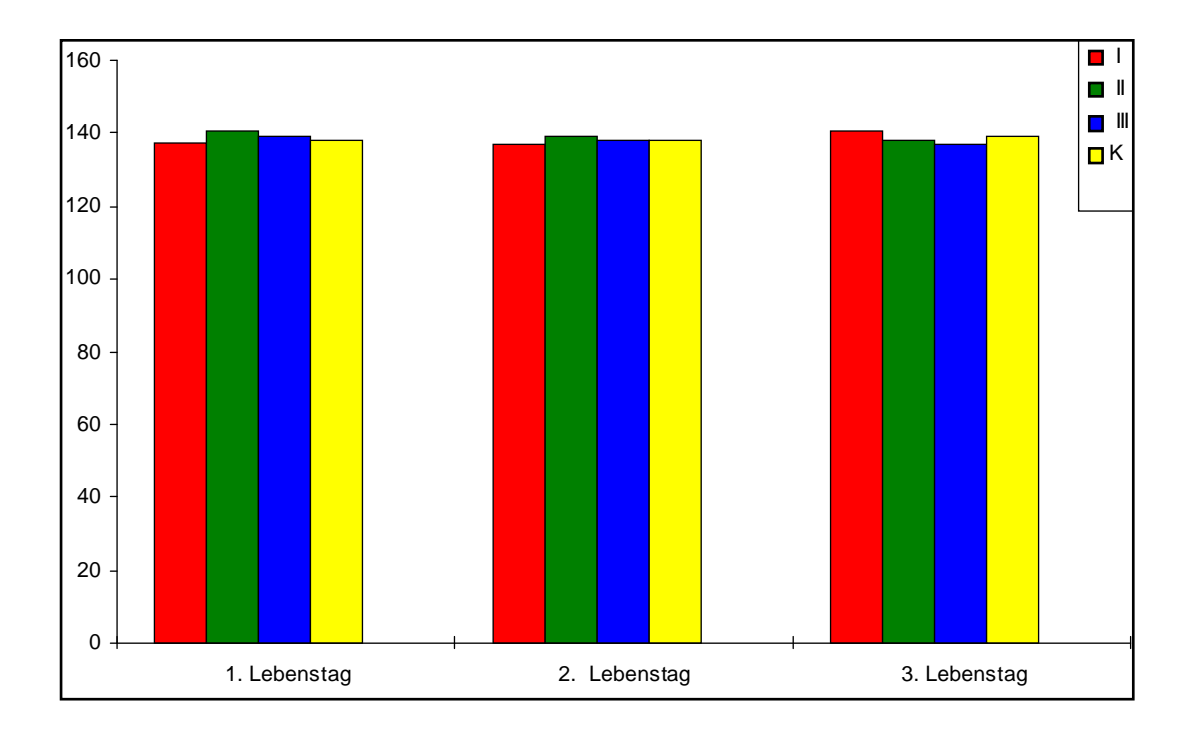


Abb. 5. Serum-Na-Konzentration in den ersten 3 Lebenstagen

DISKUSSION

Die LDH ist ein zytoplasmatisches Enzym und ein Bestandteil aller Gewebe. Bei bereits geringen Organschäden kann sie vermehrt ins Plasma übertreten, und ist bei vielen pathologischen Zuständen erhöht (36, 76).

Ihre Aktivität im Neugeborenenalter ist am höchsten im Vergleich mit anderen Lebensperioden des Menschen. Das Maximum erreicht die LDH-Aktivität bei Gesunden am 2. Lebenstag (34, 37).

Die Gesamt-LDH-Aktivität der Kontrollgruppe entspricht weitgehend den Normwerten, die in der Literatur veröffentlicht sind (37, 49, 76).

Einheitliche pathophysiologische Konzepte für diese höheren als bei Erwachsenen Normwerte der Neugeborenen existieren bislang nicht. Es werden diskutiert neben einer erhöhten Zellwandpermeabilität, transitorische Hypoxie unter der Geburt sowie eine gesteigerte Hämolyse (43, 49).

Erhöhungen der Gesamt-LDH werden bei vielen pathologischen Zuständen gefunden und haben aufgrund mangelnder Organspezifität eine nur mäßige differentialdiagnostische Aussagekraft. Die häufigsten Ursachen für die LDH-Erhöhung sind Erkrankungen der Leber, des Herzens, der Skelettmuskulatur und des erythropoetischen Systems. Die im Serum meßbare LDH-Aktivität besteht aus den Aktivitätsanteilen der 5 Isoenzyme, LDH 1-5. Jedes LDH-Molekül besteht aus 4 Untereinheiten mit einem Molekulargewicht von 34.000. Es gibt 2 Typen von Untereinheiten, den H (Herz) und den M (Muskel) Typ. Sie werden von zwei Genloci determiniert.

H- und M-Typ sind in den Geweben zu 5 Isoenzymen kombiniert. Der H- Typ herrscht in Geweben mit hohem $\rm O_2$ - Verbrauch vor, der

M- Typ in Geweben mit starker glykolytischer Aktivität (29, 32, 38,

76).

In dieser Studie wurden extrem hohe LDH-Aktivitäten bei Neugeborenen, die infolge einer schweren Asphyxie gestorben sind, gemessen. Die Aktivität erreichte die höchsten Werte zwischen der 16.- 48. Lebenstunde. In einzelnen Fällen, z.B. Pat. Tobias R. nr 10 (Einzelwerttabelle im Anhang) erreichte LDH-Aktivitätswerte von über 20.000 U/l. Dies kann man nur durch massive Schädigung der Zellmembran in vielen Geweben erklären.

Die Neugeborenen, die in den ersten Lebenstagen deutliche neurologische Auffälligkeiten (Gruppe II) aufwiesen, hatten signifikant höhere Aktivitäten im Vergleich zu Neugeborenen ohne neurologische Symptome (Gruppe III) – unkomplizierte postasphyktische Phase.

Am 1. Lebenstag waren die Mittelwerte 2,5 mal höher als die der Kontrollgruppe und stiegen am 2. und 3. Lebenstag auf das 5- fache an. Das deutet wahrscheinlich auf eine ausgeprägtere Schädigung der Gewebe bei Patienten dieser Gruppe hin. Die Vergleiche mit den Daten aus der Literatur sind durch unterschiedliche Kriterien der Asphyxie-Definition und die Zeitpunkte der Untersuchungen erschwert. Einstimmig ist die Erhöhung der Gesamt-LDH-Aktivität bei Neugeborenen in der postasphyktischen Phase (36, 39, 49).

Die Kreatinkinase (CK) katalysiert die reversible Übertragung der Phosphatgruppe von Kreatin-Phosphat auf Mg-ADP. Sie kann durch 3 verschiedene Gene determiniert werden, deren Genprodukte CK-M, CK-B und CK-Mi genannt werden.

Die im Serum meßbare Aktivität setzt sich aus den Aktivitäten der zytoplasmatischen, dimeren Isoenzyme, CK-MM, CK-MB und CK-BB, zusammen.

Eine Schädigung des Organs läßt die CK ins Blut übertreten, so daß es das Isoenzym-Muster des geschädigten Organs widerspiegeln kann (33, 76, 82).

Bei der Synthese des ATP, der unmittelbaren Energiequelle der Muskulatur, des zentralen Nervensystems und vieler proliferierender Gewebe, ist die Kreatinkinase von entscheidender Bedeutung. Bei vielen Untersuchungen wurde festgestellt, daß die Bestimmung der hirnspezifischen CK-BB bei Neugeborenen eine geeignete Untersuchung zur Frühdiagnostik der Schädigung des ZNS werden kann (1, 3, 6, 47, 50, 82). Amato et al. (2) konnte diese Beobachtungen bei asphyktischen Frühgeborenen nicht bestätigen. Ruth (65) fand bei Frühgeborenen eine signifikante Korrelation zwischen CK-BB-Aktivität und perinataler Mortalität, aber keine mit neurologischen Schäden.

Die CK-MM-Aktivität ist zum überwiegenden Teil für die gesamte Serum-CK-Aktivität verantwortlich (3, 76).

Eine Erhöhung von CK-MM bei gleichzeitigem Anstieg von CK-MB läßt auf eine kardiale Ursache schließen. Die Erhöhung der Serum-CK-MM durch Freisetzung aus der Skelettmuskulatur kann verschiedenartige Ursachen haben: körperliche Aktivität, Muskeltraumen, Myositis und Muskeldystrophien (50, 56, 72, 76).

Bei in dieser Studie untersuchten asphyktischen Neugeborenen war die Gesamt-CK-Aktivität deutlich höher als in der Kontrollgruppe. Obwohl die Kinder der Gruppe I (gestorbene Neugeborene) sehr hohe Aktivität zeigten, ergaben sich keine signifikanten Unterschiede. Die einzelnen Werte streuen relativ weit. Die Interpretation bereitet deutliche Schwierigkeiten, da es sich um Neugeborene handelt, die unterschiedlichen geburtstraumatischen Noxen ausgesetzt waren, die einen Einfluß auf die Freisetzung von CK aus dem Gewebe haben, z.B. operative Entbindungen (Saugglocke, Forceps, manuelle Hilfe bei BEL), Reanimationsmaßnahmen, Azidose, Unterkühlung (65, 72). Man kann im allgemeinen nur daraus schließen, daß asphyktische Neugeborene eine deutlich höhere Gesamt-CK-Aktivität als gesunde Neugeborene haben.

Die Hypoxie führt zur schnellen Erschöpfung der Energievorräte in der ATP-Form, deren Spiegel anfänglich auf Kosten von Kreatinphosphat aufrechterhalten wird. Wenn der Spiegel der energiereichen Phosphate fällt, beginnt der Zellstoffwechsel zusammenzubrechen (29, 31).

Infolge der Asphyxie wird die zerebrale Na⁺,K⁺-ATPase-Aktivität deutlich reduziert (20). Bei Frühgeborenen (VLBW) scheint die niedrige Aktivität der erythrozytären Na⁺,K⁺-ATPase für den zellulären K⁺-Ionen Verlust verantwortlich zu sein (40, 73).

In dieser Studie wurden in der Gruppe I am 2. und am 3. Lebenstag hohe Serum-K⁺-Konzentrationen beobachtet. Es liegt nahe zu vermuten, daß ansteigende K⁺-Werte eine ernste prognostische Bedeutung haben können. Sie sprechen für eine sehr schwere Zellmembranschädigung, die u.a. bei Patienten dieser Gruppe zum Tode führte.

In der Gruppen II und III stiegen die K⁺-Mittelwerte unwesentlich höher aber signifikant im Vergleich zur Kontrollgruppe, obwohl einige einzelne Werte im pathologischen Bereich angesiedelt waren, besonders unter den Neugeborenen mit frühen neurologischen Störungen (71).

Als Ursache einer massiven Hyperkaliämie kommen neben einer schweren Hypoxie auch noch eine schwere Hämolyse, eine Rhabdomyolyse und eine langanhaltende katabolische Stoffwechsellage in Betracht (14, 76).

Lackmann et al. (35) haben in einer Gruppe von 98 asphyktischen Neugeborenen signifikant höhere Serum-K⁺-Konzentrationen im Vergleich zu gesunden Neugeborenen gefunden, sie befanden sich immer im Normbereich. Er differenziert die Kinder nicht nach dem klinischen Schweregrad, und er hat etwas mildere Asphyxie-Kriterien angenommen (Apgar-Index < 7 nach 5 und 10 Minuten), was den Vergleich erschwert.

Die größte Gefahr einer Hyperkaliämie liegt in der Wirkung auf die Exzitabilität und die Reizleitung des Herzmuskels. Die ersten Zeichen sind im EKG hohe, zeltförmige und schmalbasige T-Wellen. Bei andauerndem K⁺-Überschuß fehlt die P-Welle oder die P-R Strecke wird deutlich verlängert und der QRS-Komplex verbreitet. Es folgen Kammerextrasystolen, Kammerfibrillationen und endlich Kammerstillstand. Diese kardiale Symptomatik ist für den therapeutischen Mißerfolg verantwortlich (14, 63, 78).

Extrazelluläres Kalium spielt eine sehr wichtige Rolle bei der Regulation der neuronalen Erregbarkeit (20).

Die Blut-Liquor-Schranke wird während einer Hypoxie geschädigt. Stutchfield und Cooke (74) haben bei Neugeborenen mit intraventrikulären Hirnblutungen erhöhte K⁺-Konzentrationen im Liquor gefunden. Da die hohen Konzentrationen von K⁺-Ionen im Liquor eine deutliche Konstriktion der pialen Arteriolen und kleinen Gefäße verursachen, sind sie möglicherweise für die Entstehung von zerebralen Infarzierungen verantwortlich.

Die asphyktischen Neugeborenen entwickeln in den ersten Tagen eine Hypokalzämie (9, 26, 77, 84).

In dieser Studie wird es deutlich, daß der klinische Schweregrad einer Asphyxie relativ gut mit der Senkung der mittleren Ca²+-Konzentrationen korreliert. Die niedrigsten Werte werden in der Gruppe I am 3. Lebenstag erreicht. Die Neugeborenen der Gruppe II haben am 3. Lebenstag noch niedrigere Werte als die der Gruppe III und der Kontrollgruppe.

Für die Senkung der plasmatischen Ca^{2+} -Konzentration scheint bei asphyktischen Patienten der Mangel an Energie in der ATP-Form zu sein.

Die Insuffizienz der ATP-abhängigen Ionen-Transport-Mechanismen führt sowohl zu einem raschen Verlust des intrazellulären Kaliums als auch zu einem Einstrom von Calcium-Ionen in die Zelle (12). Mit der Akkumulation von Calcium-Ionen im Zytoplasma kommt es zur Aufnahme des Calciums in die Mitochondrien. Dadurch wird der normale elektrochemische Gradient an der Mitochondrien-Membran aufgehoben. Die Folge ist die Unterbrechung der oxidativen Phosphorylierung (26).

Der Einstrom von Calcium-Ionen in die glatte Muskelzelle, die gerade ein Aktin-Myosin-Komplex gebildet hat, verursacht eine verlängerte Kontraktion der Muskelzelle besonders in energiearmem Zustand. Es folgt ein Vasospasmus und damit eine Verminderung der Perfusion (8).

Kjelmer (30) bringt interessante Argumente zur Wirkung einer gesteigerten intrazellulären Ca²⁺-Ionen-Konzentration auf die posthypoxische Schädigung der Neuronen im Zusammenspiel mit den freien Sauerstoffradikalen.

Die Mittelwerte von Serum-Na⁺-Konzentrationen in den untersuchten Gruppen zeigten trotz gewisser individueller Schwankungen keine signifikanten Unterschiede.

Auch die Angaben in der Literatur zeigen, daß die Bestimmung von Natrium-Ionen keine prognostische Aussage hat (18, 30), obwohl man erwarten könnte, daß bei einer Na⁺, K⁺-Pumpe-Insuffizienz eine meßbare Elektrolyt-Verschiebung auftreten müßte.

Eine Hyponaträmie ist bei asphyktischen Neugeborenen mit inadäquater ADH-Ausschüttung ein diagnostisch führendes Symptom (13, 48, 63, 64). Auch bei einigen Neugeborenen dieser Studie konnte es beobachtet werden.

SCHLUSSFOLGERUNG

Diese retrospektive Studie zeigt, daß bei der Durchführung von serienmäßigen einfachen laborchemischen Untersuchungen bei asphyktischen Neugeborenen, diejenigen am schwersten betroffen sind, bei denen extrem hoch ansteigende Serum-LDH-Aktivitäten, sowie deutlich ansteigende Serum- K^+ und sinkende Serum- Ca^{2+} -Konzentrationen gefunden werden.

Die asphyktischen Neugeborenen, die eine frühe neurologische Symptomatik entwickeln, zeigen in einem geringeren Ausmaß ansteigende Serum-LDH-Aktivitäten, nur leicht ansteigende Serum- K^+ - und deutlich sinkende Serum- Ca^{2+} -Konzentrationen.

Die genannten Parameter können, vorsichtig angewandt, den Schweregrad der postasphyktischen Periode bezeichnen, und somit die Prognose der perinatalen Asphyxie erleichtern.

LITERATUR

- 1. Amato M., Gambon R., Muralt G.: (1985) Prognostic value of serum creatine kinase brain isoenzyme in term babies with perinatal hypoxic injuries. Helv paediat Acta 40: 435-440
- 2. Amato M., Jäggi I., Hüppi P.: (1992) Erfassung perinataler Hirnschäden bei Risiko-Frühgeborenen durch serielle Creatine-Kinase-BB-Messungen. Pädiatrie und Pädologie 27: 17-20
- 3. Amato M., Nagel R., Hüppi P.: (1991) Die Creatin-Kinase MM in der Perinatalperiode. Klin Pädiatr 203: 389- 394
- 4. Baenziger O., Martin E., Steinlin M., Good M., Largo R., et al. (1993) Early pattern recognition in severe perinatal asphyxia: a prospective MRI study. Neuroradiology 35(6): 437-42
- 5. Ballot D.E., Rothberg A.D., Davies V.A., Smith J., Kirsten G.: (1993) Does hypoxemia prevent brain damage in birth asphyxia? Med Hypotheses 41(4): 344-7
- 6. Becker M., Menzel K.: (1978) Braintypical creatine kinase in the serum of newborn infants with brain damage. Acta paediatr Scand 67: 177- 180
- 7. Blair E., Stanley F.J.: (1988) Intrapartum asphyxia: a rare cause of cerebral palsy. J Pediatr 112: 515-519
- 8. Borchard U.: (1987) Pharmakologie der Calcium Antagonisten.
 Aesopus, Basel
- 9. Cardenas-Rivero N., Chernow B.: (1989) Hypocalcaemia in critically ill children. J Pediatr 114: 946- 951
- 10. Chen H.J., Roloff D.W.: (1994) Routine administration of phenobarbital for the prevention of intraventricular hemorrhage in premature infants: five years' experience.

 J Perinatol 14(1): 15-22
- 11. Committee on Fetus and Newborn, American Academy of Pediatrics, and Committee on Obstetric Practice, American College of Obstetricians and Gynecologists. (1996) Use and abuse of the Apgar score. Pediatrics 98(1): 141-2

- 12. Daly M.J., Elz J.S., Nayler W.G.: (1984) Sarcolemmal enzymes and Na^+ , Ca^{2+} exchange in hypoxic, ischaemic, and reperfused rat hearts. Am J Physiol 247: 237- 243
- 13. Denson S.E.: (1989) Fetal Asphyxia: Its Impact on the Neonate. in Rathi M. (Edit.) Current Perinatology. Springer Verlag New York Berlin Heidelberg 25- 37
- 14. Dirschedl P., Bausch R.: (1991) Hyperkaliämie. Herz+Gefäße 11: 211- 215
- 15. Dorrepaal C.A., Berger H.M., Benders M.J., van Zoeren-Grob ben D., Van de Bor M., Van Bel F.: (1996) Nonprotein-bound iron in postasphyxial reperfusion injury of the newborn.

 Pediatrics 98(5): 883- 9
- 16. Geiger R., Ellemunter H., Fink F.M., Falk M., Tilg H.:
 (1996) Circulating interleukin-1 receptor antagonist levels
 in neonates. Eur J Pediatr 155(9): 811- 4
- 17. Goldberg R.N., Moscoso P., Bauer Ch., et al: (1986) Use of barbiturate therapy in severe perinatal asphyxia:

 A randomized controlled trial. J Pediatr 109: 851-856
- 18. Goplerud J.M., Delivoria Papadopoulos M.: (1994) Cerebral blood flow and metabolism during repeated asphyxias in newborn piglets: influence of theophylline.

 Biol Neonate 65(3-4): 220- 30
- 19. Goplerud J.M., Kim S., Delivoria Papadopoulos M.: (1995)
 The effect of post-asphyxial reoxygenation with 21% vs.
 100% oxygen on Na+,K(+)-ATPase activity in striatum
 of newborn piglets. Brain Res 696 (1-2): 161- 4
- 20. Goplerud J.M., Mishra O.P., Delivoria-Papadopoulos M.: (1992) Brain cell membrane dysfunction following acute asphyxia in piglets. Biol Neonate 61: 33-41
- 21. Groenendaal F., Veenhoven R.H., van der Grond J., Jansen G.H., Witkamp T.D., de Vries L.S.: (1994) Cerebral lactate and N-acetyl-aspartate/choline ratios in asphyxiated full-term neonates demonstrated in vivo using proton magnetic resonance spectroscopy. Pediatr Res 35(2): 148-51

- 22. Gooden B.A.: (1993) The evolution of asphyxial defense. Integr Physiol Behav Sci 28(4): 317-30
- 23. Giacoia G.P.: (1993) Asphyxial brain damage in the newborn: new insights into pathophysiology and possible pharmacologic interventions. South Med J 86(6): 676-82
- 24. Hagberg H., Thornberg E., Blennow M., Kjellmer I., Lager-crantz H., et al.: (1993) Excitatory amino acids in the cerebrospinal fluid of asphyxiated infants: relationship to hypoxic-ischemic encephalopathy.

 Acta Paediatr 82 (11): 925-9
- 25. Helwig J.T., Parer J.T., Kilpatrick S.J., Laros R.K., Jr.: (1996)Umbilical cord blood acid-base state:what is normal?

 Am J Obstet Gynecol 174(6): 1807- 12
- 26. Henry Ph.D., Shuchleib R., Davis J., et al.: (1977)

 Myocardial contracture and accumulation of mitochondrial calcium in ischaemic rabbit heart. Am J Physiol 233: 677-684
- 27. Johnston M.V.: (1993) Cellular alterations associated with perinatal asphyxia. Clin Invest Med 16(2): 122-32
- 28. Jorch G.: (1993) Periventrikuläre Leukomalazie. Monatschr Kinderheilkd 141: 567- 572
- 29. Karlson P.: (1988) Biochemie. Georg Thieme Verlag Stuttgart
- 30. Kjallmar I.: (1991) Mechanism of perinatal brain damage.
 Ann Med 23: 675-679
- 31. Klaus M.H., Fanaroff A.A.: (1978) Das Risiko-Neugeborene. Gustav Fischer Verlag Stuttgart
- 32. Kowalewski S.L.: (1971) Die Isoenzyme der LDH im Serum von reifen Neugeborenen und Frühgeborenen.

 Monatschr Kinderheilkd 119: 273- 275
- 33. Kuint J., Pipano S., Linder N., Reichman B., Sela B.A.: (1993) Serum macro creatine kinase type 2 in asphyxiated newborn infants. Clin Biochem 26(2): 117- 20

- 34. Lackmann G.M.: (1996) Influence of neonatal idiopathic respiratory distress syndrome on serum enzyme activities in premature healthy and asphyxiated newborns.

 Am J Perinatol 13(6): 329-34
- 35. Lackmann G.M., Mader R., Töllner U.: (1991) Serumkaliumspiegel bei asphyktischen und gesunden Neugeborenen in den ersten 144 Lebenstunden. Klin Pädiatr 203: 399-402
- 36. Lackmann G.M., Mader R., Töllner U.: (1991) Serumenzymbestimmungen bei asphyktischen und gesunden Neugeborenen in den ersten 144 Lebensstunden. Perinatalmedizin 3: 160
- 37. Lackmann G.M., Töllner U.: (1992) Enzymaktivitäten im Serum gesunder Neugeborener. Monatschr Kinderheilkd 140: 171- 176
- 38. Lackmann G.M., Töllner U.: (1995) The predictive value of elevation in specific serum enzymes for subsequent development of hypoxic-ischemic encephalopathy or intraventricular hemorrhage in full-term and premature asphyxiated newborns. Neuropediatrics 26(4): 192-8
- 39. Lackmann G.M., Töllner U., Mader R.: (1993) Serum enzyme activities in full-term asphyxiated and healthy newborns: enzyme kinetics during the first 144 hours of life. Enzyme Protein 47(3): 160-72
- 40. Leslie G.I., Carman G., Arnold J.D.: (1990) Early neonatal hyperkalaemia in the extremely premature newborn infant.

 J Paediatr Child Health 26(1): 58-61
- 41. Leth H., Toft P.B., Peitersen B., Lou H.C., Henriksen O.: (1996)Use of brain lactate levels to predict outcome after perinatal asphyxia. Acta Paediatr 85(7): 859-64
- 42. Levene M.I., Gibson N.A., Fenton A.C., Papathoma E., Barnett D.: (1990) The use of a calcium-channel blocker, nicardipine, for severely asphyxiated newborn infants. Dev Med Child Neurol 32(7): 567-74
- 43. Levene M.I., Sands C., Grindulis H., Moore J.R.: (1986)
 Comparison of two methods of predicting outcome in
 perinatal asphyxia. Lancet 1, 67-69

- 44. Low J.A.: (1993) Relationship of fetal asphyxia to neuropathology and deficits in children.

 Clin Invest Med 16(2): 133-40
- 45. Low J.A., Froese A.F., Galbraith R.S., Sauerbrei E.E., McKinven J.P., Karchmar E.J.:(1990) The association of fetal and newborn metabolic acidosis with severe periventricular leukomalacia in the preterm newborn.

 Am J Obstet Gynecol 162(4): 977-81
- 46. Low J.A., Ludwin S.K., Fisher S.: (1996) Severe fetal asphyxia associated with neuropathology.

 Am J Obstet Gynecol 175(5): 1383-5
- 47. Linke M., Menzel K., Wiedemann G.: (1984) Der Einfluß der Geburtsazidose auf die Serumaktivitäten der Kreatinkinase und ihres hirnspezifischen Isoenzymes im Serum Neugeborener am ersten Lebenstag. Kinderärztl Prax 52: 232-235
- 48. Lupton B.A., Hill A., Roland E.H., et al.: (1988) Brain Swelling in the Asphyxiated Term Newborn: Pathogenesis and Outcome. Pediatrics 82: 139-146
- 49. Menzel K., Braun W.: (1974) Serumaktivitäten der LDH, CPK, GOT, GPT und LAP bei asphyktischen Neugeborenen. Acta Paediatr Hung 15: 241- 254
- 50. Menzel K., Schambach K., Topke B., Koslowski H.: (1974)

 Bedeutung von Serum-CPK-Aktivität und CPK-Isoenzyme für die
 Entwicklungsdiagnose asphyktischer Neugeborener.Kinderärztl
 Prax 242: 413- 417
- 51. Mimouni F., Miodovnik M., Siqui T.A., et al.: (1991)

 Perinatal asphyxia in infants of insulin-dependent diabetic

 mothers. J Pediatr 113: 345-353
- 52. Moorcraft J., Bolas N.M., Ives N.K., et al.: (1991)
 Global and Depth Resolved Phosphorus Magnetic Resonance
 Spectroscopy to Predict Outcome After Birth Asphyxia.
 Arch Dis Child 66: 1119- 1123
- 53. Nakaya H., Kimura S., Kanno M.: (1985) Intracellular K⁺ and Na⁺ activities under hypoxia, acidosis, and no glucose in dog hearts. Am J Physiol 249: 1078- 1085

- 54. Nelson N.M.: (1985) Current therapy in neonatal-perinatal medicine. Mosby St. Louis
- 55. Obwegeser R., Bohm R., Gruber W.:(1993) Diskrepanz zwischen Apgar Score und Nabelarterien pH-Wert beim Neugeborenen.

 (Korrelation zu Geburtsmodus und Fetal Outcome?).

 Z Geburtshilfe Perinatol 197(2): 59-64
- 56. Omokhodion S.I., Losekoot T.G., Jaiyesimi F.: (1991)

 Serum creatine kinase and creatine kinase MB isoenzyme activities in perinatally asphyxiated newborns.

 Eur Heart J 12: 980- 984
- 57. Pasternak J.F.: (1993) Hypoxic-ischemic brain damage in the term infant. Lessons from the laboratory.

 Pediatr Clin North Am. 40(5): 1061- 72
- 58. Perlman J.M.; Tack E.D.: (1988) Renal injury in the asphyxiated newborn infant: Relationship to neurologic outcome. J Pediatr 113: 875-879
- 59. Prechtl H.F., Ferrari F., Cioni G.: (1993) Predictive value of general movements in asphyxiated fullterm infants Early Hum Dev 35(2): 91- 120
- 60. Pourcyrous M., Leffler C.W., Bada H.S., Korones S.B., Busija D.W.: (1993) Brain superoxide anion generation in asphyxiated piglets and the effect of indomethacin at therapeutic dose. Pediatr Res 34(3): 366-9
- 61. Ramji S., Ahuja S., Thirupuram S., Rootwelt T., Rooth G., Saugstad O.D.: (1993) Resuscitation of asphyxic newborn infants with room air or 100% oxygen.

 Pediatr Res 34(6): 809- 12
- 62. Richardson B.S.: (1993) The fetal brain: metabolic and circulatory responses to asphyxia.

 Clin Invest Med.; 16(2): 103- 14
- 63. Rogers M.C.: (1987) Textbook of pediatric intensive care. Williams & Wilkins Baltimore
- 64. Rosendahl W., Nossal R., Moeller H.: (1988) Diagnostik und Therapie hyponatriämischer Syndrome. Monatschr Kinderheilkd 136: 988- 992

- 65. Ruth V.J.: (1989) Prognostic value of creatine kinase BB-isoenzyme in high risk newborn infants. Arch Dis Child 64: 988-992
- 66. Ruth V.J., Autti-Rämö I., Granström M.L., et al.: (1988)
 Prediction of perinatal brain damage by cord plasma
 vasopressin, erythropoetin, and hypoxanthine values.
 J Pediatr 113: 880-885
- 67. Sachs L.: (1973) Angewandte Statistik. Springer Verlag
 Berlin 109- 111, 230- 235
- 68. Sexson W.R., Overall S.W.:(1996) Ethical decision making in perinatal asphyxia. Clin Perinatol. 23(3): 509-18
- 69. Sher P.K.: (1990) The effects of acidosis on chronically hypoxic neurons in culture.

 Exp Neurol 107(3): 256-62
- 70. Sheth R.D., Bodensteiner J.B., Riggs J.E., Schochet S., Jr.: (1996) Differential involvement of the brain in neonatal asphyxia: a pathogenic explanation.

 J Child Neurol 10(6): 464-6
- 71. Shortland D., Trounce J.Q., Levene M.I.: (1987)

 Hyperkaliemia, cardiac arrythmias, and cerebral lesions
 in high risk neonates. Arch Dis Child 62: 1139- 1143
- 72. Sitzmann F.C.: (1966) Untersuchungen über das Verhalten der CPK während der Neugeborenenperiode. Eur J Pediatr 96: 343-348
- 73. Stefano J.L., Norman M.E., Morales M.C., et al.: (1993)

 Decreased erthrocyte Na⁺, K⁺-ATPase activity associated

 with cellular potassium loss in extremely low birth

 weight infants with nonoliguric hyperkaliämia. J Pediatr

 122: 276- 284
- 74. Stutchfield P.R., Cooke R.W.I.: (1989) Electrolytes and glucose in cerebrospinal fluid of premature infants with hamorrhage: role of potassium in cerebral infarction.

 Arch Dis Child 64: 470- 475

- 75. Sychlowy A., van der Gaag H., Hannen-Hofheinz I.: (1990) Hyperkaliämie- lebensbedrohliche Frühkomplikation asphyktischer Frühgeborener. Monatschr Kinderheilkd 138: 62-65
- 76. Thomas L.: (1992) Labor und Diagnose. Die Medizinische Verlagsgesellschaft Marburg
- 77. Tsang R.C., Chen I., Hayes W., et al.: (1974) Neonatal hypocalcaemia in infants with birth asphyxia. J Pediatr 84: 428-433
- 78. van den Berg P.P., Nelen W.L., Jongsma H.W., Nijland R., Kollee L.A., Nijhuis J.G., Eskes T.K.: (1996) Neonatal complications in newborns with an umbilical artery pH < 7.00.

 Am J Obstet Gynecol 175(5): 1152-7
- 79. Varvarigou A., Vagenakis A.G., Makri M., Frimas C., Beratis N.G.: (1996) Prolactin and growth hormone in perinatal asphyxia. Biol Neonate 69(2): 76-83
- 80. Vincent J.L., Bredas P., Jankowski S., Kahn R.J.: (1995)
 Correction of hypocalcaemia in the critically ill: what is
 the haemodynamic benefit?
 Intensive Care Med 21(10): 838-41
- 81. Walker V., Bennet L., Mills G.A., Green L.R., Gnanakumaran K., Hanson M.A.: (1996) Effects of hypoxia on urinary organic acid and hypoxanthine excretion in fetal sheep. Pediatr Res 40(2): 309-18
- 82. Walsh P., Jedeikin R., Ellis G., et al.: (1982) Assesment of neurologic outcome in asphyxiated term infants by use of serial CK-BB isoenzyme measurement. J Pediatr 6: 988-992
- 83. Wiesglas-Kuperus N.: (1996) Neonatal Intensive Care and Neurodevelopmental Outcome in "Intensive Care in Childhood" Tibboel D., van der Voort E. (edit.); Springer Verlag Berlin Heidelberg New York
- 84. Williams C.E., Mallard C., Tan W., Gluckman P.D.: (1993)

 Pathophysiology of perinatal asphyxia.

 Clin.Perinatol 20(2): 305- 25

ABKÜRZUNGSVERZEICHNIS

w-

weiblich

BEL-Beckenendlage CK-Creatinkinase CP- Cerebralparese CTG- Cardiotokographie FW- Fruchtwasser Gestationsalter GA-GG-Geburtsgewicht IVH- Intraventrikuläre Hämorrhagie Laktatdehydrogenase LDH-LT- Lebenstag männlich mmech. - mechanisch MOV- Multiple Organversagen n.b.- nicht bestimmt NSU- Nabelschnurumschlingung Pat.- Patient Pl.- Plazenta path.- pathologisch SSW- Schwangerschaftswoche VE- Vacuum Extraction (Saugglocke) VLBW- Very Low Birth Weight (Frühgeborene < 1500 g) vorz.- vorzeitig



	= 14											
Pat.Initiale GA in SSW Apgar-Wert pränatale G	Apgar-Wert pränatale	pränatale	pränatale	Ŏ	Ge burts-	mech.	LDH U/I	CK U	K+ mmol/l	Ca2+ mmol/l	Na+ m m ol/l	Neurostatus
Geschlecht GG in g NspH Risiken modus	NspH Risiken	Risiken		m od	us	Beatm ung	1. 2. 3. LT					
8 S.N., 31 0,0,0 vorzeitige Notsectio	0, 0, 0 vorzeitige	vorzeitige		Notse	ectio	ja	205	234	4,02	2,49	136	IVH 3° - 4°
m 1510 6,80 Plazenta-	6,80		Plazenta-				2928	219	90'9	1,68	133	
lösung	lösung	lösung	lösung				1748	110	10	1,36	125	
10 T.R., 40 0, 1, 2 2x straffe Notsectio	0, 1, 2 2x straffe	2x straffe		Nots	ectio	ja	0066	524	4,00	1,90	155	Hirnödem
m 4180 6,60 NSU	09'9		NSN				23430	2574	5,75	1,68	142	MOV
51 I.G., 36 6, 8, 9 Apert- spont	6, 8, 9 Apert- spor	9 Apert- spor	spor	sponta	ıtan	ja	332	157	4,15	2,31	142	IVH 4°
m 3100 7,28 Syndrom	7,28		Syndrom				1473	74	5,57	1,51	133	
							2066	143	5,6	1,51	144	
52 T.T., 28 7, 5, 8 path. CTG Notsectio	7, 5, 8 path. CTG I	8 path. CTG	_	Nots	ectio	ja	460	200	4,12	2,11	135	IVH 4°
m 1270 7,25 BEL	7,25		BEL				912	73	9,08	1,2	145	
							1134	117	6,59	1,18	146	
61 K.S., 33 7, 5, 6 vorzeitige spont	7, 5, 6 vorzeitige spor	vorzeitige spor	spor	spont	ıtan	ja	329	107	4,94	2,33	140	IVH 3°-4°
m 2540 7,29 Wehen-	7,29		Wehen-				1808	81	6,61	1,38	133	
tätigkeit	tätigkeit	tätigkeit	tätigkeit				8320	108	6,75	1,38	136	
62 D.B., 40 5, 5, 9 path. CTG Notsectio	5, 5, 9 path. CTG	9 path. CTG		Notse	ectio	ja	6200	1040	5,11	2,25	136	Hirnödem
w 3710 7,30		7,30					15510	12260	4,96	1,81	135	MOV
							14110	9750	6,5	1,71	140	
63 K.B., 34 6, 7, 7 NS-Knoten Nots	6, 7, 7 NS-Knoten Not	NS-Knoten Not	Not	Nots	sectio	ja	491	77	4,58	2,18	137	Hirnödem
w 1940 7,32		7,32					779	51	8,11	1,62	136	MOV
							937	32	7,81	1,51	139	
64 B.M., 37 2, 4, 4 path. CTG Notse	2, 4, 4 path. CTG Nots	path. CTG Nots	Nots	Notse	ectio	ja	285	148	5	2,27	137	MOV
w 2935 7,09		7,09					1497	169	6,48	1,97	137	
65 S.J., 40 0, 2, 5 path. CTG Notso	0, 2, 5 path. CTG Nots	5 path. CTG Nots	Nots	Nots	ectio	ja	2810	2300	6,36	2,44	132	MOV
3120 7,02	7,02	7,02					7080	13420				

	Neurostatus		MOV			MOV			MOV			IVH 4			MOV		
		1. 2. 3. LT	136	140	148	135	143	154	138	137	136	136	138	137	131	129	
	Ca2+ mmol/l Na+ mmol/l	1. 2. 3. LT	2,25	1,71	1,47	2,41	1,99	2,00	2,2	1,66	1,52	1,92	1,79	1,06	2,91	1,4	
	K+mmol/l	1. 2. 3. LT	5,11	6,5	7,32	3,91	6,29	4,37	4,68	5,86	5,23	2,08	7,04	8,16	5,14	6,12	
	CK U/I	1. 2. 3. LT	1040	12260	4850	4140	6830	15477	531	803	617	160	193	124	554	1540	
	LDH U/I	1. 2. 3. LT	9079	15510	10060	1721	5970	10648	3668	9042	14487	319	1192	997	1705	5780	
	m ech.	Beatm ung	ja			ja			ja			ja			ja		
	Geburts-	modus	Notsectio			spontan			Notsectio			Notsectio			spontan		
		Risiken	path.CTG			Schulter-	dystokie		path. CTG			Pl.praevia			Schulter-	dystokie	
etzung)	GA in SSW Apgar-Wert pränatale	NspH	6, 8, 8	7,30		0, 1, 2	n.b.		2, 5, 7	7,06		1, 5, 6	n.b.		0, 2, 3	7,11	
Gruppe I, n = 14 (Fortsetzung)	GA in SSW	GG in g	40	3710		40	4900		34	1650		32	1870		41	4705	
Gruppe I, r	Pat.Initiale	Ge sch le cht	B.D.,	W		S.L.,	M		D.C.,	W		M. A-Ch.,	M		R.J.,	ш	
	Ņ		99			29			89			69			20		

อิ	Gruppe II, n =	. 27										
ž	Pat.Initiale	GA in SSW	Apgar-Wert	pränatale	Geburts-	m ech.	LDH U/I	CK WI	K+ m m o l/I	Ca2+ mm ol/l	Na+ m mol/I	Neurostatus
	Ge sch le cht	GG in g	NspH	Risiken	modus	Beatm ung	1. 2. 3. LT	1. 2. 3. LT	1. 2. 3. LT	1. 2. 3. LT	1. 2. 3. LT	
2	N.H.,	33	0, 1, 3	vorzeitige	Notsectio	ja	770	158	3,5	3,16	142	Mikrocephalie
	*	916	6,77	Wehen-			2392	1932	4,41	1,07	141	Unruhezustär
				tätigkeit			2609	1521	3,56	1,49	135	path. EEG
က	M.G.,	40	1, 5, 7	keine	2xVE Ver-	nein	1007	1070	5,3	2,67	144	Muskelhypotc
	٤	3220	6,94		such.Kris-		1036	723	6,00	1,64	142	
					tellerhilfe		1005	872	5,52	1,55	140	
4	N.C.,	40	2, 7, 9	vorzeitige	Notsectio	nein	310	314	5,51	2,45	135	Hirnödem, Un
	*	2650	6,87	PIlösung			616	921	5,45	1,88	129	hezustände,
				path. CTG			558	292	6,03	1,56	132	Muskelhypotc
2	D.S.,	31	6 '8 '9	Vrz.Blasen-	Notsectio	ja	283	144	4,97	2,51	143	IVH 2°, Musk
	W	1580	6,98	sprung,			714	37	5,23	1,47	138	hypotonie, St
				path. CTG			851	29	6,16	1,23	141	bismus, Kräm
9	S.K.,	31	1, 3, 5	Vorzeitige	Notsectio	ja	719	322	3,81	2,74	141	Muskelhypotc
	٤	1420	6,63	PIlösung			2013	157	5,83	1,24	141	Hirnödem, Un
				path. CTG			1928	224	3,41	1,38	135	huezustände
7	A.Z.,	36	0 '0 '0	Vorzeitige	spontan	ja	621	326	2,99	2,26	138	Hirnödem, Mu
	W	2860	6,5	Plazentalö-			2920	922	3,31	2,11	146	kelhypotonie,
				sung			3636	992	4,55	1,75	141	Krämpfe
6	B.K.,	38	2, 7, 8	Vorzeitige	Notsectio	ja	929	260	4,79	2,78	140	Hirnödem, Mu
	*	3200	6,76	Plazentalö-			2185	602	6,5	1,61	133	kelhypotonie,
				sung			2408	268	6,18	1,41	133	Unruhezustä
16	M.M.,	40	7, 8, 8	path. CTG	۸E	nein	1285	1187	5,04	2,57	142	Muskelhypotc
	٤	3900	7,06				913	1399	4,76	2,14	138	
							882	813	5,06	1,9	134	
17	A.N.,	40	3, 4, 6	path. CTG	Sectio	ja	5810	583	3,9	2,46	138	Hirnödem, Mu
	*	3900	7,04				12090	894	4,14	1,98	138	kelhypotonie,
							13350	808	4,04	1,49	143	Krämpfe

	Gruppe II,	Gruppe II, n = 27 (Fortsetzung)	rtsetzung)									
18	M.K.,	32	2, 7, 8	path. CTG	Sectio	ja	286	89	5,18	2,59	138	Hirnödem,
	W	3010	7,03	Hydram-			895	33	7,35	2,16	143	Muskelhypotc
				nion			1729	71	4,7	1,61	139	Trinkschwäch
22	F.K.,	40	6, 7, 7	path. CTG	ЭA	ја	710	948	4,41	2,72	141	Muskelhypotc
	ш	3480	7,04				940	2013	5,62	2,46	137	
							1106	1510	5,72	2,03	135	
28	N.Ü.,	40	0, 2, 7	path. CTG	Sectio	ја	819	245	3,31	2,62	140	Hirnödem, Mu
	W	4000	7,13	40 j. Mutter			1526	534	4,18	1,85	137	kelhypotonie,
				Hypotonie			2580	705	4,20	1,50	133	Unruhezustär
29	K.G.,	40	6, 8, 8	vorzeitige	spontan	nein	187	126	4,66	2,56	142	Muskelhypotc
	*	3300	7,12	Plazentalös-			337	569	5,22	2,12	139	Trinkschwäch
				ung			1631	572	5,04	1,78	140	
30	J.A.,	40	4, 7, 7	Tracheal-	spontan	ја	1792	4068	4,51	2,38	141	Hirnödem, Str
	M	5070	7,15	membran			2563	8763	6,37	1,93	139	bismus, Mus!
							2010	1180	4,46	1,61	145	hypotonie, CF
31	F.A.,	38	6, 8, 8	path. CTG	spontan	ја	1229	614	5,91	2,66	146	Hirnödem,
	*	4030	7,13	Diabetes			920	962	6,44	1,98	137	Unruhezustär
				mellitus			1143	746	9,24	1,38	133	Muskelhypotc
36	A.S.,	40	7, 8, 9	EPH-Gesto-	Forceps	nein	1187	1324	4,82	2,51	142	Unruhezustär
	ш	3310	7,15	se, Geburts-			3400	1450	5,88	2,35	139	
				stillstand			3440	693	5,21	2,09	134	
48	A.A.,	38	2, 3, 5	40 j. Mutter	Forceps	ja	628	236	4,1	2,35	143	Hirnödem
	٤	2960	7,27				1019	208	2,07	1,38	4	Krämpfe
							937	327	6,67	1,2	143	
49	S.K.,	37	5, 9, 9	3xNSU,	spontan	nein	1037	1798	5,2	2,36	138	Hirnödem
	٤	4000	7,15	Schulterdys-			1157	625	6,16	1,54	136	Krämpfe
				tokie			1017	199	6,02	1,52	131	
20	H.A.,	41	6, 5, 8	path. CTG	spontan	nein	1011	1464	3,96	2,56	141	Muskelhypotc
	Μ	4600	7,20		Kristeller-		1365	1935	4,46	2,1	142	Erb´sche
					hilfe		1248	2082	6,71	1,71	143	Lähmung

	Gruppe II	Gruppe II, n = 27 (Fortsetzung)	rtsetzung)									
53	R.K.,	40	6, 5, 9	NSN	spontan	. <u>p</u> .	841	212	5,26	2,36	142	Muskelhypoto
	٤	3570	7,32				1030	223	4,19	1,85	140	
							980	80	4,45	1,52	146	
54	J.M.	98	6, 7, 8	path. CTG	VE-Versuch	ja	1598	1225	5,93	2,23	144	Muskelhypoto
	>	2260	7,15	NS-Knoten	Forceps		1276	1158	4,71	2,63	137	Krämpfe
							1059	795	4,38	1,43		136 path. Reflexe
22	R.M.	37	3, 5, 5	Geburtsstill-	Sectio	ja	461	113	3,85	2,67	139	Muskelhypoto
	٤	2650	7,3	stand, Fieber			981	219	7,3	1,87	132	path. Reflexe
							1114	161	4,98	1,65	133	
26	C.R.	42	6 '6 '8	grünes FW	spontan	ja	3450	810	3,51	2,49	143	Hirnödem
	>	3180	7,13				2230	945	3,17	1,52	150	Muskelhypoto
							3738	454	3,01	1,43		150 Mikrocephalie
22	0.L.	31	3, 5, 9	Diabetes	Notsectio	ja	1431	22	4,5	2,4	138	Muskelhypoto
	٤	1550	7,32	vorz.Wehen			2556	78	6,53	1,84	137	Strabismus c
							3140	09	5,8	1,77	142	
28	L.M.	30	4, 5, 8	worz.Wehen	Sectio	ja	301	93	3,42	2,02	139	NH4
	>	1320	n.b.				346	29	7,37	1,92	144	Hydrocephalu
							863	81	6,48	1,39	137	
29	B.R.	37	8, 8, 8	path. CTG	spontan	nein	491	205	4,92	2,76	142	Muskelhypoto
	٤	3130	7,13	vorz. Blasen-			1060	649	6,88	2,02	140	
				sprung			1104	619	5,39	1,59	136	
00	C.R.	88	8, 9, 9	Geburtsstill-	spontan	nein	612	446	5,32	2,4	142	Hirnödem
	٤	3230	7,14	stand,	Kristeller-		821	511	6,84	1,66	138	Muskelhypoto
					hilfe		1145	392	7,68	1,17	135	135 Krämpfe

	Gruppe III, n = 29	n = 29										
Ż	Pat.Initiale	GA in SSW	Apgar-Wert	pränatale	Geburts-	mech.	roh un	CK UI	K+ mm ol/l	Ca2+ m mol/I	Na+ mm ol/l	Ne ur os tatus
	Geschlecht	GG in g	NspH	Risiken	modus	Beatmung	1. 2. 3. LT	1. 2. 3. LT				
1	S.P.	40	4, 6, 8	keine	spontan	ja	529	465	5,42	2,86	142	normal
	٤	3080	6,91				624	916	4,2	2,23	133	
							633	410	5,39	1,99	135	
1	.H.	42	8, 9, 9	NSN	spontan	ja	548	988	6,65	2,14	144	normal
	*	3350	7,08				856	330	5,58	2,00	140	
							1345	308	6,05	1,73	138	
12	D.D.	68	7, 9, 9	EPH-Gesto-	Sectio	nein	335	378	4,5	2,64	140	normal
	*	2620	7,01	se, Gemini			479	288	4,75	2,26	136	
				BEL			617	82	5,06	2,12	132	
13	D.R.	40	4, 6, 9	path. CTG	ΛE	nein	653	609	5,2	2,63	140	normal
	٤	4050	7,03	Geburtsstill-			810	1192	4,94	2,35	139	
				stand			750	490	5,33	1,82	128	
14	S.L.	40	4, 5, 7	path. CTG	Sectio	nein	909	414	4,32	2,55	136	normal
	*	3110	2,00	Miß verhält-			871	1572	4,6	2,25	135	
				nis			870	1048	5,53	1,9	134	
15	M.K.	40	2, 7, 8	keine	spontan	nein	533	452	4,45	2,8	144	Hirnödem
	٤	3320	7,03				902	1216	5,07	2,22	136	
							765	797	5,8	2,1	142	
19	K.I.	38	2, 5, 8	vorz. Wehen	ΛE	nein	928	467	4,9	2,51	139	normal
	*	2870	2,08	Geburtsstill-			793	358	5,39	2,12	136	
				stand			n.b.	n.b.	n.b.	n.b.	n.b.	
20	C.S.	40	6, 7, 8	path. CTG	Sectio	nein	423	207	4,39	2,53	137	normal
	٤	3510	2,00	EPH-Gest.,			688	433	5,22	2,28	147	
				Adipositas			n.b.	n.b.	n.b.	n.b.	n.b.	
21	C.B.	40	6, 7, 9	path. CTG	spontan	nein	804	252	5,59	2,11	134	normal
	٤	3580	7,03		Kristeller-		716	328	4,99	2,12	142	
					hilfe		n.b.	n.b.	n.b.	n.b.	n.b.	

	Gruppe III, n = 29 (Fortsetzung)	n = 29 (Fol	rtsetzung)									
22	K.K.	41	2, 8, 8	path. CTG	Notsectio	nein	303	92	4,11	2,25	139	normal
	W	2900	2,09				536	402	4,33	2,17	136	
							452	112	4,6	1,83	135	
23	B.A.	41	4, 7, 9	path. CTG	Sectio	nein	446	713	3,62	2,72	139	normal
	ш	4190	2,00				827	1523	5,04	1,88	141	
							1049	704	5,6	1,36	136	
24	S.A.	40	8, 9, 9	vorz.Plazenta	spontan	nein	648	1575	4,6	2,5	137	normal
	W	3490	2,09	lösung			1318	2148	5,63	2,26	137	
				grünes FW			1513	725	5,9	1,82	138	
26	R.S.	98	6, 8, 9	wrz.Plazental	Notsectio	nein	285	110	4,44	2,41	137	normal
	M	1750	7,05	lösung			8,51	117	4,74	1,89	135	
				path. CTG			n.b.	n.b.	n.b.	n.b.	n.b.	
27	J.B.	40	1, 7, 8	schnelle Ge-	spontan	ja	469	311	3,55	2,41	140	normal
	W	2640	7,12	burt,			657	784	3,7	2,17	139	
				grünes FW			703	525	4,42	1,82	133	
32	K.S.	40	6, 7, 9	path.CTG	Sectio	ja	1631	954	4,21	2,26	139	normal
	ш	3500	7,15	Fieber			1210	1487	5,33	1,71	136	
							1151	337	5,16	1,76	136	
33	M.B.	40	6,8,9	keine	spontan,	nein	615	106	4,82	2,48	142	normal
	ш	3450	7,13		verl. Aus-		1113	91	6,56	1,94	137	
					treibung		1061	137	5,99	1,76	137	
34	D.T.	98	4, 7, 8	NSVorfall,	Notsectio	nein	609	76	26,37	2,92	144	normal
	ш	2980	7,15	Steißlage,			1060	338	7,27	1,9	139	
				path. CTG			229	207	5,83	1,47	133	
32	C.P.	40	9, 10,	path. CTG	ΛE	nein	619	989	4,29	2,2	136	normal
	٤	3690	7,11				268	809	4,78	2,14	138	
							511	222	4,46	2,26	140	
37	D.S.	9	7, 8, 9	path. CTG	VE	nein	526	788	4,4	2,55	138	normal
	Е	3370	7,10				473	854	5,05	2,21	135	
							374	74	5,64	2,12	127	

	Gruppe III,	Gruppe III, n = 29 (Fortsetzung)	setzung)									
38	A.S.	30	2, 5, 8	path. CTG	Sectio	ja	481	268	5,3	2,48	136	IVH 2
	Е	1170	7,13	Gemini			723	81	5,01	1,71	128	
							1013	82	5,7	1,57	151	
68	O.T.	37	3, 4, 6	path. CTG	NE	ja	1710	1050	4,53	2,15	133	normal
	٤	3850	7,14	grünes FW			1376	1271	5,21	2,03	139	
							1183	519	4,81	1,7	140	
40	D.S.	30	3, 5, 8	path. CTG	Sectio	ja	447	214	5,63	2,51	137	normal
	٤	1100	7,26	Gemini			741	37	4,59	1,51	143	
							750	44	4,35	1,31	150	
14	N.Z.	30	5, 6, 6	path. CTG	Sectio	ja	725	295	4,29	2,13	143	normal
	*	820	7,16	EPH-Gesto-			1757	96	5,35	1,9	140	
				se			1077	67	3,88	1,99	148	
42	M.N.	32	4, 5, 7	Plazenta	Sectio	ja	352	174	4,8	2,67	144	normal
	٤	2450	n.b	Insuffizienz			894	110	7,25	1,72	131	
							1027	82	5,69	1,65	137	
43	S.O.	32	6, 5, 8	path.CTG	Notsectio	ja	563	170	5,21	2,53	141	normal
	٤	2980	7,34	vorz. Wehen			292	26	6,83	1,69	137	
							n.b.	n.b.	4,89	1,48	139	
4	Ľ.	39	4, 8, 9	keine	spontan	jā	616	39	4,96	2,37	142	normal
	*	2120	7,15				1167	51	2,66	1,47	139	
							n.b.	n.b.	n.b.	n.b.	n.b.	
45	R.D.	38	4, 5, 8	path. CTG	spontan	nein	1309	411	4,18	2,41	138	normal
	٤	2700	7,23				1722	795	4,47	1,77	139	
							n.b.	n.b.	5,8	1,61	133	
46	D.S.	39	4, 5, 8	keine	spontan	nein	476	75	5,14	2,45	140	normal
	٤	3330	7,28				209	92	4,74	2,2	140	
							950	100	5,09	1,69	139	
47	N.S.	32	0, 3, 8	vorz.Plazenta	Notsectio	nein	442	28	5,45	2,41	142	normal
	*	2430	n.b	lösung,			628	133	7,21	1,81	139	
				Gemini			711	91	5,9	1,63	136	

		Untersuchungs	bogen			
NI ₂ .		Patient Init.:		Cobusto datus	•	
<u>Nr.:</u>		Patient init		Geburtsdatun	<u> </u>	
Gestationsalter:				Geburtsgewic	:ht:	
<u>Jootationioanori</u>				Cobartogomo	<u> </u>	
Pränatale Risiken	vorzeitiger Bl	asensprung; vorz	zeitige -Plazentalö	isung, -Wehen	tätigkeit;	
	Plazenta pra	evia; Nabelschnu	ırvorfall; path. CT	G; EPH-Gesto:	se; Diabetes	mellitus;
	andere:					
Geburtsmodus:	spontan; verl	ängerte Austreib	ungsphase; Saug	glocke; Zange,	: Sectio; ande	ere:
Nabelschnur pH:		Apgarwert: 1. m	in.: 5. min.:	10. min.:		
Erstversorgungsm			erstoff-Beutel-Bea			
		Beatmung; Supra ⊤	arenin-, Bikarbona	it-, 5% Human □	-Albumin, 105	% Glukose;
	andere:					
Zustand nach Übe	arnohmo und V	/orlayte	sehr schwach; E	Produkardia: Tr	achuk ardia: 7	ronoco: Plätta
Zustanu nach obe			nregelmäßige Atn			
	Hyperexzitab		Tregernaisige Atti	urig, racriypri	ое, арпое, ар	Jatriie,
	Тіуретелгіцар	ilitat, aridere.				
Intensivmediziniso	he Maßnahm	en:				
III CONDIVITIONIZITIO		_	⊥ nethason; Lumina	l: 5% Human A		semid [.]
	-	· · · · · · · · · · · · · · · · · · ·	arenin; Dopamin;			
	, m					
					40.01	
Schädel (Him)-So	nographie:					
Schädel (Him)-So		normal; Himöde	m; parenchymatö Hydrozephalus; a	se Blutung; int		
Schädel (Him)-So		normal; Himöde	m; parenchymatö	se Blutung; int		
Schädel (Him)-So	Blutung 1., 2	normal; Himöde. 2., 3., 4. Grades;	m; parenchymatö Hydrozephalus; a	se Blutung; int andere:	raventrik uläre	
	Blutung 1., 2 er Entlassung	normal; Himöde 2., 3., 4. Grades; Muskelhypotonia	m; parenchymatö Hydrozephalus; a	se Blutung; int andere: Reflexe; Trinks	raventrik uläre chwäche; Kra	nmpfanfälle;
	Blutung 1., 2 er Entlassung Strabismus;	normal; Himöde 2., 3., 4. Grades; Musk elhypotonid Nystagmus; Hyd	m; parenchymatö Hydrozephalus; a e; pathologische l	se Blutung; int andere: Reflexe; Trinks zephalie; Musl	raventrik uläre chwäche; Kra	nmpfanfälle;
	Blutung 1., 2 er Entlassung Strabismus;	normal; Himöde 2., 3., 4. Grades; Musk elhypotonid Nystagmus; Hyd	m; parenchymatö Hydrozephalus; a e; pathologische l rozephalus; Mkro	se Blutung; int andere: Reflexe; Trinks zephalie; Musl	raventrik uläre chwäche; Kra	nmpfanfälle;
	Blutung 1., 2 er Entlassung Strabismus;	normal; Himöde 2., 3., 4. Grades; Musk elhypotonid Nystagmus; Hyd	m; parenchymatö Hydrozephalus; a e; pathologische l rozephalus; Mkro	se Blutung; int andere: Reflexe; Trinks zephalie; Musl	raventrik uläre chwäche; Kra	nmpfanfälle;
	Blutung 1., 2 er Entlassung Strabismus;	normal; Himöde 2., 3., 4. Grades; Musk elhypotonid Nystagmus; Hyd	m; parenchymatö Hydrozephalus; a e; pathologische l rozephalus; Mkro	se Blutung; int andere: Reflexe; Trinks zephalie; Musl	raventrik uläre chwäche; Kra	nmpfanfälle;
Neurostatus bei d	er Entlassung Strabismus; zustände; pa	normal; Himöde 2., 3., 4. Grades; Musk elhypotonid Nystagmus; Hyd	m; parenchymatö Hydrozephalus; a e; pathologische l rozephalus; Mikro MOV (Multiorgan	se Blutung; int andere: Reflexe; Trinks zephalie; Musl	raventrik uläre chwäche; Kra kelhypertonie,	nmpfanfälle; Unruhe-
Neurostatus bei d	Blutung 1., 2 er Entlassung Strabismus;	normal; Himöde 2., 3., 4. Grades; Musk elhypotonid Nystagmus; Hyd	m; parenchymatö Hydrozephalus; a e; pathologische l rozephalus; Mkro	se Blutung; int andere: Reflexe; Trinks zephalie; Musl	raventrik uläre chwäche; Kra	nmpfanfälle; Unruhe-
Neurostatus bei d	er Entlassung Strabismus; zustände; pa	normal; Himöde 2., 3., 4. Grades; Musk elhypotonid Nystagmus; Hyd	m; parenchymatö Hydrozephalus; a e; pathologische l rozephalus; Mikro MOV (Multiorgan	se Blutung; int andere: Reflexe; Trinks zephalie; Musl	raventrik uläre chwäche; Kra kelhypertonie,	nmpfanfälle; Unruhe-
Neurostatus bei d Laborwerte LDH IU/I CK IU/I	er Entlassung Strabismus; zustände; pa	normal; Himöde 2., 3., 4. Grades; Musk elhypotonid Nystagmus; Hyd	m; parenchymatö Hydrozephalus; a e; pathologische l rozephalus; Mikro MOV (Multiorgan	se Blutung; int andere: Reflexe; Trinks zephalie; Musl	raventrik uläre chwäche; Kra kelhypertonie,	nmpfanfälle; Unruhe-
Neurostatus bei d Laborwerte LDH IU/I CK IU/I Kalium mmol/I	er Entlassung Strabismus; zustände; pa	normal; Himöde 2., 3., 4. Grades; Musk elhypotonid Nystagmus; Hyd	m; parenchymatö Hydrozephalus; a e; pathologische l rozephalus; Mikro MOV (Multiorgan	se Blutung; int andere: Reflexe; Trinks zephalie; Musl	raventrik uläre chwäche; Kra kelhypertonie,	nmpfanfälle; Unruhe-
Neurostatus bei d Laborwerte LDH IU/I CK IU/I Kalium mmol/I Calcium mmol/I	er Entlassung Strabismus; zustände; pa	normal; Himöde 2., 3., 4. Grades; Musk elhypotonid Nystagmus; Hyd	m; parenchymatö Hydrozephalus; a e; pathologische l rozephalus; Mikro MOV (Multiorgan	se Blutung; int andere: Reflexe; Trinks zephalie; Musl	raventrik uläre chwäche; Kra kelhypertonie,	nmpfanfälle; Unruhe-
Neurostatus bei d Laborwerte LDH IU/I CK IU/I Kalium mmol/I Calcium mmol/I	er Entlassung Strabismus; zustände; pa	normal; Himöde 2., 3., 4. Grades; Musk elhypotonid Nystagmus; Hyd	m; parenchymatö Hydrozephalus; a e; pathologische l rozephalus; Mikro MOV (Multiorgan	se Blutung; int andere: Reflexe; Trinks zephalie; Musl	raventrik uläre chwäche; Kra kelhypertonie,	nmpfanfälle; Unruhe-
Laborwerte LDH IU/I CK IU/I Kalium mmol/I Calcium mmol/I Natrium mmol/I	er Entlassung Strabismus; zustände; pa	normal; Himöde 2., 3., 4. Grades; Musk elhypotonid Nystagmus; Hyd	m; parenchymatö Hydrozephalus; a e; pathologische l rozephalus; Mikro MOV (Multiorgan	se Blutung; int andere: Reflexe; Trinks zephalie; Musl	raventrik uläre chwäche; Kra kelhypertonie,	nmpfanfälle; Unruhe-
Laborwerte LDH IU/I CK IU/I Kalium mmol/I Calcium mmol/I Natrium mmol/I Chlor mmol/I	er Entlassung Strabismus; zustände; pa	normal; Himöde 2., 3., 4. Grades; Musk elhypotonid Nystagmus; Hyd	m; parenchymatö Hydrozephalus; a e; pathologische l rozephalus; Mikro MOV (Multiorgan	se Blutung; int andere: Reflexe; Trinks zephalie; Musl	raventrik uläre chwäche; Kra kelhypertonie,	mpfanfälle; Unruhe-
Neurostatus bei d Laborwerte LDH IU/I CK IU/I Kalium mmol/I Calcium mmol/I Natrium mmol/I Chlor mmol/I BGA pH	er Entlassung Strabismus; zustände; pa	normal; Himöde 2., 3., 4. Grades; Musk elhypotonid Nystagmus; Hyd	m; parenchymatö Hydrozephalus; a e; pathologische l rozephalus; Mikro MOV (Multiorgan	se Blutung; int andere: Reflexe; Trinks zephalie; Musl	raventrik uläre chwäche; Kra kelhypertonie,	mpfanfälle; Unruhe-
Neurostatus bei d Laborwerte LDH IU/I CK IU/I Kalium mmol/I Calcium mmol/I Natrium mmol/I Chlor mmol/I BGA pH BE mmol/I	er Entlassung Strabismus; zustände; pa	normal; Himöde 2., 3., 4. Grades; Musk elhypotonid Nystagmus; Hyd	m; parenchymatö Hydrozephalus; a e; pathologische l rozephalus; Mikro MOV (Multiorgan	se Blutung; int andere: Reflexe; Trinks zephalie; Musl	raventrik uläre chwäche; Kra kelhypertonie,	mpfanfälle; Unruhe-
Laborwerte LDH IU/I CK IU/I Kalium mmol/I Calcium mmol/I Chlor mmol/I BGA pH BE mmol/I pCO2 mmHg	er Entlassung Strabismus; zustände; pa	normal; Himöde 2., 3., 4. Grades; Musk elhypotonid Nystagmus; Hyd	m; parenchymatö Hydrozephalus; a e; pathologische l rozephalus; Mikro MOV (Multiorgan	se Blutung; int andere: Reflexe; Trinks zephalie; Musl	raventrik uläre chwäche; Kra kelhypertonie,	mpfanfälle; Unruhe-
Laborwerte LDH IU/I CK IU/I Kalium mmol/I Calcium mmol/I Calcium mmol/I Ratrium mmol/I Chlor mmol/I BGA pH BE mmol/I pCO2 mmHg pO2 mmHg	er Entlassung Strabismus; zustände; pa	normal; Himöde 2., 3., 4. Grades; Musk elhypotonid Nystagmus; Hyd	m; parenchymatö Hydrozephalus; a e; pathologische l rozephalus; Mikro MOV (Multiorgan	se Blutung; int andere: Reflexe; Trinks zephalie; Musl	raventrik uläre chwäche; Kra kelhypertonie,	mpfanfälle; Unruhe-
Neurostatus bei d Laborwerte LDH IU/I CK IU/I Kalium mmol/I Calcium mmol/I Chlor mmol/I BGA pH BE mmol/I pCO2 mmHg pO2 mmHg Kreatinin	er Entlassung Strabismus; zustände; pa	normal; Himöde 2., 3., 4. Grades; Musk elhypotonid Nystagmus; Hyd	m; parenchymatö Hydrozephalus; a e; pathologische l rozephalus; Mikro MOV (Multiorgan	se Blutung; int andere: Reflexe; Trinks zephalie; Musl	raventrik uläre chwäche; Kra kelhypertonie,	nmpfanfälle; Unruhe-
Laborwerte LDH IU/I CK IU/I Kalium mmol/I Calcium mmol/I Calcium mmol/I Ratrium mmol/I Chlor mmol/I BGA pH BE mmol/I pCO2 mmHg pO2 mmHg	er Entlassung Strabismus; zustände; pa	normal; Himöde 2., 3., 4. Grades; Musk elhypotonid Nystagmus; Hyd	m; parenchymatö Hydrozephalus; a e; pathologische l rozephalus; Mikro MOV (Multiorgan	se Blutung; int andere: Reflexe; Trinks zephalie; Musl	raventrik uläre chwäche; Kra kelhypertonie,	mpfanfälle; Unruhe-

Lebenslauf

Name: Katarzyna Jahn, geb. Sychlowy

Geboren: 23.12.1966 in Bytom/Polen

Schullaufbahn

1973-1981 8 Klassen Volksschule in Bytom/Polen

1981 Einreise in die Bundesrepublik Deutschland und Anerkennung

als politische Asylantin

1981-1982 Gastschülerin an der Realschule Lindenberg/Allgäu

1982-1983 9. Klasse am Gymnasium Neuss-Norf

1983-1987 Max-Planck-Gymnasium, Gelsenkirchen

1987 Abitur

1988 Einbürgerung

1987-1993 Studium der Zahnheilkunde an der Rheinischen

Friedrich-Wilhelm-Universität in Bonn

1993 Zahnärztliches Staatsexamen und Approbation

Berufliche Laufbahn

Dez. 1993- Weiterbildungsassistentin in einer kieferorthopädischen

Juni 1995 Praxis in Laupheim

Juli 1995- Assistentin in einer allgemeinzahnärztlichen

Sept. 1997 Praxis in Konstanz

Sept. 1997-

Aug. 1999 Niedergelassen in einer Praxisgemeinschaft in Konstanz

seit Sept. 1999 Assistentin in der Abteilung für Paradontologie, Endodontologie

und Kariologie am Zahnärztlichen Institut der Universität

Basel, Schweiz

PERINATALE ASPHYXIE- FRÜHE KOMPLIKATIONEN UND EINFACHE LABORPARAMETER KATARZYNA JAHN

Abstract

Bei 70 Neugeborenen mit perinataler Asphyxie, die in drei Gruppen eingeteilt wurden (I- Patienten, die verstarben; II- Patienten mit früher neurologischen Symptomatik; III- Patienten ohne frühe neurologische Symptomatik), wurden seriell zu drei festgesetzten Zeitpunkten in den ersten Lebenstagen folgende Laborbefunde ausgewertet: Serum-Laktatdehydrogenase(LDH) – und Gesamt-Kreatinkinase(CK) – Aktivität, Serum-Na⁺-, K⁺-, Ca²⁺- Konzentration. Die Ergebnisse wurden einer statistischer Analyse unterzogen, und untereinander sowie mit der Kontrollgruppe verglichen.

Die Neugeborenen, die verstarben, wiesen eine signifikant höhere LDH-Aktivität mit gleichzeitigem Anstieg der K⁺-Konzentration und einer Senkung der Ca²⁺-Konzentration vom ersten zum dritten Lebenstag auf, die Gesamt-CK-Aktivität war sehr hoch, jedoch ohne statische Signifikanz.

Bei Neugeborenen mit früher neurologischer Symptomatik stellte man eine signifikant höhere LDH-Aktivität und leicht ansteigende K⁺- und deutlich sinkende Ca²⁺-Konzentrationen im Serum fest, als bei Patienten ohne neurologische Komplikationen. Die Gesamt-CK-Aktivität war bei diesen Kindern signifikant höher als bei der Gruppe III und bei der Kontrollgruppe.

Die Na⁺-Konzentrationen bewegten sich in dem Untersuchungszeitraum bei allen Patienten innerhalb der Normgrenzen, und wiesen keine signifikante Tendenzen auf.

In der Studie wurde deutlich, daß die Serum-LDH-Aktivität sowie die K^+ - und Ca^{2+} - Konzentration, wenn mit gewisser Vorsicht interpretiert, den Schweregrad der postasphyktischen Phase beschreiben, und damit die Prognose der perinatalen Asphyxie erleichtern können.